

# STUDIEN ÜBER DIE ENZYMATISCHEN SPALTUNG VON GALAKTOSIDEN (III)\*

Von

Kazutosi NISIZAWA, D. Sc.\*\*

Mit 42 Figuren und 155 Tabellen

## Inhaltsübersicht

	Seite
Vorbemerkung .....	1(213)
I. Weiteres über das Verhalten von $\beta$ -Galaktosidasen verschiedener Herkunft gegenüber den $\beta$ -d-Galaktosiden mit verschiedenen Aglykonen.....	2(214)
II. Hemmungsversuche mit Zuckern und ihren Derivaten. ....	13(225)
III. Fraktionierungsversuche an einigen $\beta$ -Galaktosidasepräparaten verschiedener Herkunft. Ein Beitrag zur Frage der Glyko- dase-typen. ....	19(231)
IV. Spezifität der $\beta$ -Galaktosidasen von Hepatopankreas der Schnecke, <i>Eulota peliomphala</i> . ....	39(249)
V. Affinität der $\beta$ -Galaktosidasen verschiedener Herkunft zu einigen $\beta$ -Galaktosiden mit verschiedenen Aglykonen. ....	48(260)
Literaturen .....	73(285)

## Vorbemerkung

Die vorliegenden Mitteilungen stellen im wesentlichen eine Fortsetzung derjenigen dar, welche im Jahre 1942 in "Science Reports of Tokyo Bunrika Daigaku" als I und II Mitteilung<sup>15)16)</sup> veröffentlicht wurden. Die Versuchsergebnisse, die damals wegen Weltkriegs II noch unveröffentlicht blieben, liegen zusammen mit den danach erhaltenen in diesen Mitteilungen vor. Sie wurden an "Symposia on Enzyme Chemistry" in Tokyo am 30. Oktober, 1948 vortragen.

An dieser Stelle erlaube ich mir, meinem verehrten Lehrer Herrn Prof. Dr.

\* Aus dem Chemischen Laboratorium der Textil- und Seidenbauwissenschaft-  
lichen Fakultät an der Universität Shinshu.

\*\* Professor an der Universität Shinshu.

T. Miwa an der Tokyo Universität für Literatur und Wissenschaft (Tokyo Bunrika Daigaku), für die freundliche Leitung und eifrige Anteilnahme zu dieser Arbeit meinen herzlichsten Dank auszusprechen. Auch der Textil-Fakultät zu Ueda und besonders dem Institut für Textilchemie derselben bin ich für die gütige Unterstützung zu Dank verbunden.

### I. Weiteres über das Verhalten von $\beta$ -Galaktosidasen verschiedener Herkunft gegenüber den $\beta$ -d-Galaktosiden mit verschiedenen Aglykonen.

Es ist von T. Miwa<sup>89)</sup> und Mitarbeitern gezeigt worden, dass das Aktivitätsverhältnis, das die aus verschiedener Quellen gewonnenen Fermentpräparate gegenüber den  $\beta$ -d-Glucosiden mit verschiedenen Aglykonen ergeben, je nach der Fermentherkunft mehr oder weniger stark schwankt. Als Ursache hierfür ist in erster Linie die Verschiedenheit in der Struktur jeder  $\beta$ -Glucosidase in Betracht gezogen worden.

Bezüglich der  $\beta$ -Galaktosidase<sup>15)</sup> verschiedener Herkunft erwies sich das Aktivitätsverhältnis jeden Präparates gegenüber  $\beta$ -d-Galaktosiden von Phenol, o- und p-kresol sowie Vanillin zumeist als nicht so erheblich schwankend wie bei der  $\beta$ -Glucosidase, wobei die Fermentpräparate aus *Prunus*- und *Cycas*-Samen die Ausnahme darstellten.

In der vorliegenden Arbeit, wurde nun versucht, zu prüfen, ob derselbe Sachverhalt auch bei den anderen  $\beta$ -d-Galaktosiden mit verschiedenen Aglykonen ebenfalls vorliegt oder nicht.

Zur Ermittlung des Aktivitätsverhältnisses, wurden insgesamt 15 verschiedene  $\beta$ -Galaktoside herangezogen, von denen 12 das phenolische Aglykon und 3 das alkoholische führten. Vergleichsweise wurde auch die  $\beta$ -glucosidatische Aktivität mit Phenol- $\beta$ -d-glucosid als Substrat ermittelt. Die Enzymlösungen wurden aus 16 verschiedenen Quellen bereitet, die die Samen von höheren Pflanzen, Pilzen und Bakterien sowie auch tierische Geweben umfassten.

Die Bedingungen der enzymatischen Reaktionen und die Bestimmungsmethode sind ganz dieselben wie bei der ersten Mitteilung. Zwei  $\beta$ -d-Galaktoside von Salicylaldehyd und Isoeugenol wurden, wegen geringer Löslichkeit, in Form einer Suspension zur Reaktion verwendet.

Aktivitätsverhältnis von  $\beta$ -Galaktosidasen verschiedener Herkunft gegenüber 15  $\beta$ -Galaktosiden.

(Die Aktivität für Phenol- $\beta$ -d-galaktosid ist als 1 gesetzt.)

Nr.	Herkunft des Enzyms	$\beta$ -D-Galaktosid von													
		Pheanol	n-Butanol	Propenol	Methanol	Toluol	p-Nitrophenol	Acetone	Isobutanol	Levoglucosan	β-D-Galaktosid von	Phenol			
1	<i>Prunus armeniaca</i>	16.0	0.60	3.61	2.16	8.04	0.36	2.21	46.3	0.39	6.73	—	0.55	0.70	0.06
2	<i>Cycas revoluta</i>	9.00	0.85	1.64	2.00	5.10	0.18	3.05	20.0	0.34	2.30	—	0.51	3.64	1.24
3	<i>Sesamum indicum</i>	0.84	0.92	0.88	0.56	0.75	0.24	0.81	0.73	0.41	0.94	1.03	—	—	—
4	<i>Glycine hispida</i>	0.80	1.10	0.89	0.56	0.94	0.31	1.10	1.11	0.94	1.04	1.26	—	—	—
5	<i>Zea mays</i>	0.98	1.13	1.21	0.58	0.93	0.46	1.04	1.05	0.96	1.30	1.31	—	—	—
6	Tatkadiastase	0.99	1.22	1.39	0.79	0.65	0.17	1.02	0.83	0.74	1.45	1.22	0.09	0.42	0.28
7	<i>Aspergillus niger</i>	1.24	0.92	1.66	0.93	0.95	0.22	1.35	0.99	1.10	2.30	1.83	0.12	0.43	0.24
8	Mutterkorn	0.99	0.86	1.37	0.98	—	—	0.64	—	—	—	—	0.07	0.15	0.10
9	<i>Polyporus sulphureus</i>	1.23	0.80	1.36	1.03	1.20	0.60	—	1.35	1.10	1.30	—	0.045	0.19	0.16
10	<i>Irpex lacteus</i>	1.22	1.38	2.17	1.42	1.12	0.46	1.38	0.99	1.67	2.72	1.07	0.11	0.50	0.53
11	<i>Coremiella sp.</i>	0.73	1.15	2.20	0.80	0.52	0.21	0.58	0.46	1.30	3.00	—	0.075	0.31	0.30
12	<i>Bac. coli</i>	1.24	0.41	—	1.93	—	0.24	3.26	11.4	4.00	3.78	2.24	0.71	—	—
13	Schneckenhepatopankreas	1.18	1.18	—	0.62	1.42	0.62	1.36	1.45	0.54	0.72	—	0.03	0.12	0.08
14	Schweinleber	1.62	1.52	1.70	0.19	—	—	5.65	—	—	—	—	?	?	0.09
15	Ochsenleber	1.14	1.31	1.15	0.10	3.91	0.05	3.91	4.87	0.46	1.60	2.51	—	—	4.55
16	Kulturlösung von <i>Corticium centrifigum</i>	1.64	1.04	1.33	1.60	—	—	1.05	1.13	1.65	1.52	—	—	—	8.65

\* Als Suspension.

\*\*Die Verhältniswerte wurden von M. Hashimoto beobachtet.

In diesen Resultaten fällt es uns zunächst auf, dass eine weitgehende Parallelität in dem Aktivitätsverhältnis zwischen Aprikosen und *Cycas*-enzym besteht, nämlich bleibt die relative Spaltungsgeschwindigkeit von jedem phenolischen  $\beta$ -Galaktoside bei beiden Fermentarten fast gleich gross. Es ist jedoch wohl nicht ohne weiteres möglich, über die Identität beider  $\beta$ -Galaktosidasen etwas sicheres aussagen, denn es gibt auch ein deutlicher Unterschied zwischen beiden Fermenten in Bezug auf das Aktivitätsverhältnis der alkoholischen beiden Fermenten in Bezug auf das Aktivitätsverhältnis der alkoholischen  $\beta$ -Galaktoside. So wird z.B. Methanol- $\beta$ -d-galaktosid durch das Aprikoseferment etwa 1/20 so langsam gespalten wie Phenol- $\beta$ -d-galaktosid, während das *Cycas*ferment dasselbe Substrat verhältnismässig schneller, wie etwa mit einer Geschwindigkeit von 1/2 zum Phenol- $\beta$ -d-galaktosid, spaltet. Hierbei erscheint es uns besonders bemerkenswert, dass Aktivitätsverhältnis gegenüber verschiedenen  $\beta$ -Galaktosiden von Aprikose- und *Cycas*-ferment, mit einigen Ausnahmen wie Salicylaldehyd-, Methylsalicylat- und Isoeugenol- $\beta$ -galaktosid, in grossen Zügen dasselbe ist wie der Wirkungsquotient gegenüber entsprechenden  $\beta$ -Glucosiden. Beziiglich des Aktivitätsverhältnisses der  $\beta$ -Glucosidase von Aprikose- und *Cycas*-ferment sei es auf die von T. Miwa<sup>10</sup> und Mitarbeitern ausgeführten Arbeiten verwiesen. Allerdings erscheint diese Tatsache insofern beachtenswert als wir uns der Schlussfolgerung von B. Helferich<sup>5</sup> errinnern, dass  $\beta$ -Glucosidase und  $\beta$ -Galaktosidase von Süssmandelmulsin ein und dasselbe Enzym darstellen.

Bei den Fermentpräparaten aus den Samen anderer höherer Pflanzen (Nr. 3, 4, 5, ), den Pilzen (Nr. 6, 7, 8, 9, 10, 11, 16) sowie auch dem Hepatopankreas der Schnecke (Nr. 13) erscheint der Sachverhalt etwas anders, indem das Aktivitätsverhältnis gegenüber den phenolischen  $\beta$ -Galaktosiden nur wenig schwankt. Nämlich scheint die chemische Natur des Aglykons bei diesen Fermentpräparaten auf die Spaltungsgeschwindigkeit keinen wesentlichen Einfluss auszuüben.

Die Enzyme aus *Bac. Coli communis* (Nr. 12) und Ochsenleber (Nr. 15) sind auf Grund der Hemmungsversuchen sowie des Verhaltens gegenüber phenolischen  $\beta$ -Galaktosiden von Akamatsu und Mitarbeitern<sup>6,7</sup> dem Emulsin-

Typ zugeteilt worden. Bezuglich des Verhaltens gegenüber dem Vanillin- $\beta$ -galaktosid scheinen diese beiden Enzyme wohl dem *Prunus*-emulsin (Nr. 1) nahezustehen, verhalten sie sich jedoch ganz anders gegen den Isoeugenol- oder Guajakol- $\beta$ -Galaktosid. Demnach erscheint es nicht statthaft, diese Fermente ohne weiteres mit dem *Prunus*-emulsin zu identifizieren. Das Ferment aus Schweinleber scheint, solange es aus unsern Versuchsergebnissen hervorgeht, sich von demjenigen der Ochsenleber kaum zu unterscheiden.

### Versuche

#### A. Substrat.

Synthese einiger neuen  $\beta$ -Galaktoside, die in dieser Arbeit verwendet wurden, wurde an andere Stelle beschrieben.<sup>14)</sup>

#### B. Fermentpräparate.

Präparate Nr. 1-Nr. 11 wurden ganz in derselben Weise wie bei der I Mitteilung bereitet.

Nr. 12. *Bac. Cöli communis*. "Nomura"-Stamm, geliefert von Prof. Yasaki an der Jikeikwai medizinischen Akademie. Fermentlösung wurde von M. Hashimoto nach Vorschrift von K. Horikoshi<sup>5)</sup> hergestellt.

Nr. 13. Schneckenhepatopankreas (*Eulota peliomphala pfeiffer*).

Nr. 14. Schweinleber.

Aus dem Acetonpulver, wurden die Fermentlösungen in derselben Weise wie aus dem Samenpulver hergestellt.

Nr. 15. Ochsenleber. Die an der Fleischhackmaschine zerriebene frische Ochsenleber wurde unter Zusatz der doppelten Menge von Wasser und etwas Toluol bei 30° der Autolyse unterworfen. Nach etwa 3 Tagen kolierte man das Autolysat durch Tuch, die erhaltene trübe Lösung durch Zentrifugieren geklärt und im Cellophanschrauch dialysiert.

Nr. 16. Die kulturlösung von *Corticium centrifigum*.

Der Pilz wurde 7 tagelang in dem Malzextrakt bei 30° kultiviert. Die von der Pilzdecke abgetrennte Lösung wurde unter verminderter Druck bei 30-33° konzentriert und dann im Cellophanschlauch dialysiert.

## Experimentelle Ergebnisse mit einer Methode zur

## Protokolle wird leicht verständig beschrieben

durch die folgenden Beispiele.

Tabelle 2.

Versuch mit den Fermentpräparat Nr. 1, (Aprikose-emulsin).

Substrat: β-Galaktosid von	t Min.	Spalt- tung %	$\frac{1}{10}$ . k	Mit- tel	Verh- ältnis
Phenol	66	28.8	2.235		
	80	36.3	2.440		
	130	49.7	2.295	2.28	1
	180	59.0	2.151		
m-Kresol	25	41.3	9.254		
	50	61.1	8.020	8.26	3.61
	82	75.7	7.492		
p-Oxyacetophenon	17	18.9	5.35		
	34	33.0	5.11	5.05	2.21
	54	44.2	4.70		
Guajakol	20	23.5	5.82		
	60	46.2	4.50	4.94	2.16
	110	68.0	4.50		
Methanol	440	15.9	0.173		
	1650	37.2	0.123	0.136	0.059
	3050	54.3	0.111		
Propanol	47	14.8	1.48		
	175	47.4	1.59	1.59	0.70
	295	68.5	1.70		
n-Butanol	109	27.0	1.25		
	169	38.8	1.26		
	222	46.5	1.23	1.24	0.55
	279	54.0	1.21		

Tabelle 3.

Versuch mit dem Fermentpräparat Nr. 1, (Aprikose-emulsin).

Substrat: β-Galaktosid von	t Min.	Spalt- tung %	$\frac{1}{10}$ . k	Mit- tel	Verh- ältnis
Phenol	105	23.8	1.12		
	181	38.1	1.15	1.12	1
	325	55.8	1.10		
Isoeugenol	176	21.3	0.593		
	368	29.4	0.589		
	1215	56.1	0.294	0.434	0.388
1,3,5-Xylenol	1798	66.0	0.261		
	20	27.6	7.013		
	36	47.1	7.680	7.640	6.73
Guajakol	68	68.3	7.327		
	1430	29.1	0.104		
	2260	41.5	0.103		
Methanol	2860	42.9	0.085		
	3895	54.3	0.087		
	200	17.4	0.415		
Propanol	415	29.7	0.369	0.372	2.00
	1530	69.0	0.332		
	425	26.1	0.309		
n-Butanol	690	34.8	0.270		
	1549	49.1	0.190	0.232	1.24
	2560	61.1	0.160		

Tabelle 6.

Versuch mit dem Fermentpräparat  
Nr. 2, (*Cycas revolta*).

Substrat: $\beta$ -Galaktosid von	t Min.	Spal- tung %	$^{10}k$	Mit- tel	Verh- ältnis
Phenol	855	27.6	0.164		
	1615	47.1	0.172	0.171	1
	2385	62.3	0.177		
Isoeugenol	3271	36.6	0.0604		
	4776	43.7	0.0535	0.581	0.34
	7346	64.0	0.0604		
I, 3, 5-Xylenol	525	28.1	0.397		
	663	46.2	0.406	0.386	2.26
	1435	69.5	0.354		
Salicyl-aldehyd	145	25.5	0.882		
	305	46.5	0.891	0.867	5.10
	469	59.0	0.826		
Methylsalicylat	3455	24.9	0.0360		
	4965	30.3	0.0315	0.031	0.18
	10585	45.8	0.0252		

Tabelle 7.

Substrat: $\beta$ -Galaktosid von	t Min.	Spal- tung %	$^{10}k$	Min- tel	Verh- ältnis
Phenol	1200	33.4	0.147	0.139	1
	2830	57.3	0.131		
o-Kresol	1200	29.4	0.126	0.117	0.84
	2830	50.1	0.107		
p-Kresol	2200	30.3	0.130	0.128	0.92
	2830	56.1	0.126		
m-Kresol	1235	30.6	0.127	0.122	0.88
	4210	67.8	0.117		
Guajakol	1235	22.10	0.078	0.077	0.56
	4210	44.90	0.069		
Salicyl-aldehyd	1235	27.3	0.112	0.104	0.75
	4210	60.2	0.095		
Methylsalicylat	1235	10.60	0.0394	0.033	0.24
	4210	27.00	0.0325		
p-Oxyacetophenon	1235	32.7	0.139	0.113	0.81
	4210	60.5	0.096		
Vanillin	1235	26.7	0.109	0.102	0.73
	4210	59.9	0.094		

Isoeugenol	1235 4210	19.5 44.9	0.0763 0.0615	0.689	0.41
1, 3, 5-Xylenol	1200 2830	33.0 50.4	0.145 0.117	0.131	0.94
p-Nitrophenol	1200 2830	35.4 56.7	0.158 0.128	0.143	1.03
$\beta$ -Glucosid von Phenol	2830 8380 12899	14.5 36.9 45.5	0.0240 0.0238 0.0205	0.0228	0.164

Tabelle 8.

Versuch mit dem Fermentpräparat  
Nr. 4 (*Glycine hispida*).

Substrat: $\beta$ -Galaktosid von	t Min.	Spal- tung %	$^{10}k$	Mit- tel	Verh- ältnis
Phenol	5670 13095	20.1 46.8	0.0172 0.0209	0.019	1
	5670 13095 17345	16.2 38.4 46.5	0.0135 0.0161 0.0157		
p-Kresol	5670 13095 17345	18.3 51.3 60.5	0.0155 0.0239 0.0232	0.209	1.10
	5840 11715	20.4 36.6	0.0169 0.0169		
m-Kresol	5840 11715	23.5 36.6	0.0993 0.0111	0.017	0.89
	11710 17415	33.5 36.6	0.011 0.011		
Guajakol	5840 11715	23.8 33.8	0.0202 0.0153	0.018	0.94
	17520 27510	22.1 29.4	0.00619 0.00550		
p-Oxyacetophenon	5840 11715	24.1 43.5	0.0205 0.0212	0.021	1.10
	5840 11715	28.8 41.1	0.0253 0.0169		
Isoleugenol	5840 11715	23.8 32.7	0.0202 0.0147	0.018	0.94
	5670 13095	20.4 48.3	0.0175 0.0219		
1, 3, 5-Xylenol	5670 13095	18.3 51.7	0.0208 0.0270	0.024	1.26
	4215 11700	18.3 51.7	0.0208 0.0270		







Iso-eugenol	1100 1540 2780	45.5 49.1 82.0	0.239 0.190 0.268	0.232	1.30
Methyl-salicylat	1100 9655	49.7 52.3	0.0403 0.0333	0.0368	0.21
Methanol	9655 15415	26.4 37.5	0.0137 0.0132	0.0134	0.075
Propanol	2575 9655	27.0 72.1	0.0531 0.0574	0.0552	0.31
n-Butanol	2575 9655	28.2 68.0	0.0559 0.0513	0.0536	0.30

Tabelle 21.

Versuch mit dem Fermentpräparat

Nr. 11, ( <i>Coryniella sp.</i> ).	Substrat:	t Min.	Spalt-ung %	10 <sup>3</sup> . k	Mitt- el	Ver-hältn-is
β-Galaktosid von Phenol		804 2230 3675	24.9 49.4 71.8	0.154 0.132 0.149		
m-Kresol		515 1660	33.8 68.5	0.348 0.302	0.325	2.2
1,3,5-Xylenol		250 515 1660	22.1 41.1 80.0	0.402 0.455 0.430		
p-Oxyacetophenon		1355 2650	22.5 40.8	0.0814 0.0859	0.0837	0.58
Guajakol		1355 2655	28.8 50.1	0.109 0.113	0.111	0.80
Salicylaldehyd		1355 2650	22.8 42.0	0.0829 0.0892	0.0860	0.52
β-Glucosid von Phenol		120 252	41.3 70.6	1.928 2.109	2.02	14.0

Tabelle 22.

Versuch mit dem Fermentpräparat

Nr. 13, (Schneckenhepatopankreas).	Substrat:	t Min.	Spalt-ung %	10 <sup>3</sup> . k	Mitt- el	Ver-hältn-is
β-Galaktosid von Phenol		930 60 88	23.5 34.5 52.0	3.55 3.06 3.25	3.29	1
o-Kresol		80 60 99	25.8 38.8 57.3	4.32 3.56 3.73		1.18

p-Kresol	30 60 99	25.8 38.8 58.1	4.32 3.56 3.82	3.90	1.18
p-Oxyacetophenon	30 62 93	27.0 45.5 61.4	4.62 4.25 4.55	4.47	1.36
Guajakol	34 90 180	15.9 36.9 50.4	2.21 2.22 1.67	2.03	0.62
Salicylaldehyd	30 62 93	33.4 44.2 56.4	6.05 4.09 3.89	4.67	1.42
Methylsalicylat	34 90 180	15.9 34.5 52.7	2.21 2.04 1.80	2.03	0.62
Vanillin	30 82	30.6 55.8	5.25 4.32	4.79	1.45
Iso-eugenol	35 93	15.9 26.4	2.15 1.42	1.79	0.54
1,3,5-Xylenol	60 110 165	31.4 46.5 53.0	2.69 2.47 1.99	2.38	0.72
Methanol	1155 1622 2415 3790	21.3 28.2 36.9 53.7	0.0902 0.0877 0.0828 0.0882	0.0872	0.0265
Propanol	437 1642	32.0 78.4	0.383 0.400	0.391	0.119
n-Butanol	437 1642	28.8 65.0	0.337 0.217	0.277	0.0843
β-Glucosid von Phenol	11 38 54	15.9 46.8 66.4	6.84 7.21 8.77	7.61	2.3

Tabelle 23.

Versuch mit dem Fermentpräparat

Nr. 314, (Schweinleber).

Substrat:	t Min.	Spalt-ung %	10 <sup>3</sup> . k	Mitt- el	Ver-hältn-is
β-Galaktosid von Phenol	14630 26210 30140	30.6 33.4 34.8	0.0107 0.0067 0.0060		
o-Kresol	4771 14895	15.1 30.0	0.0149 0.0104	0.0126	1.62
p-Kresol	7011 15208	20.1 28.2	0.0139 0.0097	0.119	1.52

m-kresol	10190 21770 25700	31.7 45.5 49.1	0.0162 0.0121 0.0132	1.70
Guajakol	19910 25700	4.9 10.60	0.001050 0.00189	0.19
p-Oxyacetophenon	2650 5670 11130 12590	28.5 45.8 60.8 66.9	0.0550 0.0470 0.0365 0.0381	5.65
Methanol	26210 30140	Spur Spur	— —	—
Propanol	21770 25700	Spur Spur	— —	—
n-Butanol	21770 25700	3.1 4.9	0.000630 0.00081	0.09
$\beta$ -Glucosid von Phenol	208 574	30.3 51.7	0.751 0.551	0.651 8.34

Tabelle 24.

Versuch mit dem Fermentpräparat  
Nr. 15, (Ochsenleber).

Substrat:	t Min.	Spal- tung %	$10^3 \cdot k$	Mit- tel	Verh- ältnis
$\beta$ -Galaktosid von Phenol	868 1947	30.0 56.4	0.178 0.185	0.181	1
o-Kresol	868 1330	33.4 47.1	0.204 0.208	0.206	1.14
p-Kresol	868 1947	42.2 59.0	0.275 0.199	0.237	1.31
m-Kresol	440 1505 1943	20.6 52.7 55.5	0.227 0.215 0.181	0.208	1.15
Guajakol	5568 11391	26.2 31.1	0.0236 0.0142	0.0189	0.104
Salicylaldehyd	197 417	29.7 45.8	0.777 0.639	0.708	3.91
Methylsalicylat	5568 14288	12.9 19.2	0.01080 0.0067	0.00875	0.048
p-Oxyacetophenon	197 417	29.7 45.8	0.777 0.639	0.708	3.91
Vanillin	67 193 325	12.2 31.7 51.0	0.843 0.848 0.953	0.881	4.87
Isoeugenol	868 1947 4632	21.0 31.1 41.8	0.1176 0.0831 0.0508	0.0838	0.46

1, 3, 5-Xylenol	868 1947	30.3 55.8	0.180 0.183	0.182	1.00
p-Nitrophenol	145 325 465	15.9 28.2 35.1	0.519 0.443 0.404	0.455	2.51
$\beta$ -Glucosid von Phenol	70 113 1070	15.4 18.9 77.5	1.038 0.820 0.606	0.821	4.55

Tabelle 25.

Versuch mit dem Fermentpräparat  
Nr. 16, (Kulturlösung von *Corticium centrifigum*).

Substrat: $\beta$ -Galaktosid von	t Min.	Spal- tung %	$10^3 \cdot k$	Mittel	Verh- ältnis
Phenol	9833 12843	12.9 15.9	0.00610 0.00586	0.006	1
o-Kresol	9833 12843	21.0 23.8	0.01040 0.00919	0.0096	1.64
P-Kresol	9833 12843	13.3 16.5	0.00628 0.00610	0.0062	1.04
m-Kresol	9833 12843	16.5 21.0	0.00797 0.00795	0.008	1.33
Guajakol	9833 12843	20.1 23.8	0.00991 0.00919	0.0096	1.60
p-Oxyacetophenon	9833 12843	12.9 17.4	0.00610 0.00647	0.0063	1.05
Vanillin	9833 12843	14.5 17.7	0.00691 0.00659	0.0068	1.13
Isoeugenol	9833 12843	20.1 25.2	0.00991 0.00982	0.0099	1.65
1, 3, 5-Xylenol	9833 12843	18.6 23.5	0.00909 0.00906	0.0091	1.52
$\beta$ -Glucosid von Phenol	3564 8404	35.4 62.0	0.0533 0.0500	0.0052	8.65

## II. Hemmungsversuche mit Zuckern und ihren Derivaten.

Aus dem Laboratorium von Akamatsu<sup>16)</sup> in der medizinischen Fakultät Chiba ist neuerdings eine Theorie über die Spezifität der  $\beta$ -Glucosidase und  $\beta$ -Galaktosidase vorgeschlagen, wonach die  $\beta$ -Glucosidasen und  $\beta$ -Galaktosidasen auf Grund der spezifischen Hemmung durch Zucker und ihre Derivate sowie des Verhaltens gegenüber den  $\beta$ -Glucosiden bzw.  $\beta$ -Galaktosiden mit verschiedenen Aglykonen in Emulsin- und Taka-typ eingeteilt werden.

Die  $\beta$ -Glucosidasen bzw.  $\beta$ -Galaktosidasen von Emulsin-typ weisen nach diesen Autoren dieselbe Reihenfolge der Reaktionsgeschwindigkeit gegenüber  $\beta$ -Glucosiden bzw.  $\beta$ -Galaktosiden von Phenol-, o-, m- und p-Kresol auf wie Mandelemulsin und sie werden durch Phenol- $\beta$ -glucosid und - $\beta$ -galaktosid und noch stärker durch Gluconsäure- und Galaktosäure- $\gamma$ -lacton gehemmt, während sie durch Glucose, Gluconsäure, Galaktose und Galaktosäure keine Hemmung erleiden.

Die Theorie besagt ferner, dass bei den  $\beta$ -Glucosidasen des Taka-typs die Reihenfolge der Spaltungs geschwindigkeit gegenüber den oben genannten Substraten mit derjenigen der Takadiastase übereinstimmt. Weiterhin werden sie durch Phenol- $\beta$ -glucosid, Glucose, Gluconsäure und Gluconsäure- $\gamma$ -lacton nicht aber durch entsprechende Verbindungen der Galaktosereihe gehemmt. Bei den  $\beta$ -Galaktosidasen des Taka-typs liegen analoge Verhältnisse vor wie bei der  $\beta$ -Glucosidase desselben Typs; nämlich findet man eine gleiche Reihenfolge der Spaltungs geschwindigkeit von Phenol-, o-, m- und p-Kresol- $\beta$ -galaktosid wie bei der  $\beta$ -Galaktosidase von Takadiastase. Sie werden durch Galaktose, Galaktosäure- $\gamma$ -lacton und Phenol- $\beta$ -galaktosid spezifisch gehemmt, dagegen sind sie ganz refraktär gegen Verbindungen der Glucosereihe. Nach der Akamatsuschen Ansicht kommen in der Natur beide Typen der  $\beta$ -Glucosidasen bzw. der  $\beta$ -Galaktosidasen öfters in wechselndem Mengenverhältnis gemischt vor, was für die Mannigfaltigkeit des Aktivitätsverhältnisses verschiedener Enzymherkunft verantwortlich gemacht werden sollte.

Im vorigen Kapitel dieser Mitteilungen habe ich eine Reihe von Aktivitätsverhältnissen gegenüber den verschiedenen  $\beta$ -Galaktosiden angegeben, wobei diejenigen Werte, die weder mit dem des Emulsin noch mit dem der Takadiastase übereinstimmen, nicht selten angetroffen worden sind. Demnach erscheint es mir wünschenswert, zu prüfen, ob derartige Sachverhalt durch gemischtes Vorkommen der  $\beta$ -Galaktosidase von Emulsin- und Taka-typ zustande kommt oder nicht.

In Anschluss an die schöne Methode von Akamatsu wurde das Enzym-typ

durch Hemmungsversuche mit Glucose, Gluconsäure (Ca-salz), Phenol- oder o-Kresol- $\beta$ -glucosid, Galaktose, Galaktionsäure (Ca-salz) und Phenol- oder o-Kresol- $\beta$ -galaktosid mit p-Nitrophenol- $\beta$ -galaktosid als Substrat bestimmt. Die Konzentration sowohl der Hemmstoffe als auch der Substrate waren etwas höher als bei den Versuchen von Akamatsuschen Schule, nämlich Hemmstoffe mit einer Konzentration von m/15 und Substrat mit m/833. Die an 11 verschiedenen Fermentpräparaten ermittelten Hemmungstypen und die dazu gehörigen Aktivitätsverhältnisse gegenüber einigen  $\beta$ -Galaktosiden werden in Tabelle 1 zusammengestellt.

Tabelle 1  
Hemmungstyp nebst dem dazu gehörigen Aktivitätsverhältnis von  $\beta$ -Galaktosidasen verschiedener Herkunft.  
E: Emulsin-typ; T: Taka-typ.

Die Zahlen des Aktivitätsverhältnisses ausser der von Nr. 11 sind der Tabelle 1 im Kapitel I entnommen.

Nr.	Herkunft des Enzyms	Hemmungstyp	Aktivitätsverhältnis gegenüber $\beta$ -Galaktosid von									
			Phe-nol	O-din-phenol	p-phenol	m-phenol	Guaj-akol	Sali-cylal-dehyd	Meth-ylicyl-at	p-Oxy-acéto-phen-on	Iso-eugenol	m, m'-Xyle-nol
1	<i>Prunus armeniaca</i> (Aprikose)	E	1	16.0	0.6	3.6	2.2	8.0	0.36	2.2	0.39	6.7
2	Ochsenleber	E	1	1.1	1.3	1.2	0.1	3.9	0.05	3.9	0.25	1.0
3	<i>Corticium centrifugum</i> (Kulturlösung)	T+E?	1	1.6	1.0	1.3	1.6	—	—	1.1	1.7	1.5
4	Schneckenhepatopankreas	T+E	1	1.2	1.2	—	0.6	1.4	0.6	1.4	0.5	0.7
5	Takadiastase	T	0.1	0.99	1.22	1.4	0.79	0.65	0.17	1.0	0.74	1.5
6	<i>Aspergillus niger</i>	T	1	1.2	0.92	1.7	0.93	0.95	0.22	1.4	1.1	2.3
7	<i>Sesamum indicum</i>	T	1	0.84	0.92	0.88	0.56	0.75	0.26	0.81	0.41	0.94
8	<i>Glycine hispida</i>	T	1	0.80	1.1	0.89	0.56	0.94	0.31	1.1	0.94	1.0
9	<i>Zea mays</i>	T	0.1	0.98	1.1	1.2	0.58	0.93	0.46	1.0	0.96	1.3
10	<i>Trichoderma lacteum</i>	T	1	1.2	1.4	2.2	1.4	1.1	0.46	1.4	1.7	2.7
11	<i>Corticium centrifugum</i> (Mycel)	T	*	1.6	1.0	1.3	1.6	—	—	1.1	1.1	1.7

\* Die Protokolle dieser Verhältniswerte werden an anderer Stelle beschrieben werden.

Wie aus der Tabelle ersichtlich, zeigten die meisten Fermentpräparate ein scharf definiertes Hemmungstyp, entweder Emulsin- oder Taka-typ, ausgenommen dass die Enzympräparate aus dem Schneckenhepatopankreas und der Kulturlösung von *Corticium* das Gemisch der  $\beta$ -Galaktosidasen von beiden Typen darstellen. Obwohl die Fermentpräparate aus Aprikose und Ochsenleber in bezug auf spezifische Hemmung in dasselbe und zwar das Emulsintyp fallen, so ist jedoch die Reihenfolge der Spaltungsgeschwindigkeit für verschiedene  $\beta$ -Galaktoside voneinander sehr verschieden. Die Angabe von K. Kobayashi, wonach die Reihenfolge der Spaltungsgeschwindigkeit von  $\beta$ -Galaktosidase des Emulsintyps

$\beta$ -Galaktosid von o-Kresol > m-Kresol > Phenol  $\geq$  P-Kresol ist, konnte bei dem Fermentpräparat von Ochsenleber nicht gezeigt werden. Besonders deutlich tritt der Unterschied zwischen den beiden Fermentpräparaten in dem Verhalten gegenüber Guajakol-, o-Kresol-, Methylsslicylat- und m, m'-Xylenol- $\beta$ -galaktosid zutage. Demnach erscheint es mir nicht berechtigt, beide  $\beta$ -Galaktosidasen ohne weiteres als identisch zu betrachten.

Die Tatsache, dass es Enzyme gibt, die in ihrem Hemmungsverhalten zwar dasselbe, dennoch in dem Aktivitätsverhältnis voneinander verschieden sind, lässt uns daran, denken dass die aktiven Stellen in dem Enzymmolekül, die, einerseits das Hemmungstyp bedingen und andererseits das Aktivitätsverhältnis bestimmen, voneinander verschieden sind. Der von Miwa<sup>11)</sup> betreffs der  $\beta$ -Glucosidase erhobene, sowie auch der eigene, über  $\beta$ -Galaktosidase erhaltene Befund, dass die Spaltungsgeschwindigkeit in keiner direkten Beziehung zur Affinitätsgrosse des Enzyms zum Substrat steht, kann als Stütze für obige Ansicht betrachtet. Mit anderen Worten, gibt es keinen Grund dafür, anzunehmen, dass die Grösse der affinitätsmässigen Hemmung mit der Spaltungsgeschwindigkeit in irgendeinem bestimmten Zusammenhang stehen sollte.

Bei den Enzympräparaten, die die Hemmung von Takatyp aufweisen, bleibt der Unterschied in dem Aktivitätsverhältnis nur gering. Fernerhin bemerkt man, dass die Aktivität all diesen Fermentpräparate durch die chemische Natur des Aglykons nur wenig beeinflusst wird. Obzwar die Reihenfolge der Spaltungsgeschwindigkeit für verschiedene  $\beta$ -Galaktoside miteinander nicht immer übereinstimmt, bleibt die Differenz untereinander so gering, dass es schwer erscheint, dieser grosses Gewicht zuzuteilen. Es wäre daher auch möglich, solche  $\beta$ -Galaktosidasen zu einem Fermenttyp zusammenzufassen. Das bedeutet jedoch nicht, dass diese  $\beta$ -Galaktosidasen in allen Einzelheiten in ihrer Struktur miteinander identisch sind, vielmehr kann man

mit wahrscheinlichkeit annehmen, dass nur diejenige Gruppen in Fermentmolekül von Enzym zu Enzym gleichartig gebaut sind, die die Hemmung bzw. das Aktivitätsverhältnis bedingen.

### Versuche

Die Ergebnisse der Versuche sind aus dem folgenden Tabelle zu ersehen.

#### A. Hemmungskörper.

Als Hemmstoff in der Galaktosidspaltung wurden die folgenden verwendet:

1). Phenol- $\beta$ -d-glucosid (Schmp. 173-174°) oder  $\alpha$ -Kresol- $\beta$ -d-glucosid (Schmp. 163-164°).

2). Phenol- $\beta$ -d-galaktosid (Schmp. 143-144°) oder  $\alpha$ -Kresol- $\beta$ -d-galaktoseid (Schmp. 193-194°).

3). Glucose.

4). Galaktose.

5). Calciumgluconat.

Das Calciumsalz, das Herr Dr. M. Fujisaki mir freundlicherweise geliefert hat, wurde aus verdünntem Alkohol umkristallisiert und zuerst im Vakuumexsikator, dann bei 110° im Vakuum über phosphorpentoxyd getrocknet.

Spezifische Drehung: (1). Freie Säure, Ca-salz gelöst in 7-Proz. HCL und berechnet für freie Säure,  $[\alpha]_D^{26} = +0.27^\circ \times 100/2.61 \times 1 = +10.3^\circ$ .

unmittelbar nach Auflösen; sie steigt beim Erwärmen auf  $[\alpha]_D^{26} = +0.62^\circ \times 100/2.61 \times 1 = +23.8^\circ$  an. Nach Tollens<sup>19)</sup> sind die entsprechenden Zahlen  $+10.0^\circ$  bzw.  $+23.4^\circ$ .

(2). Ca-Salz, in Wasser,  $[\alpha]_D^{26} = +0.32^\circ \times 100/5.36 \times 1 = +5.97^\circ$ ; E. Fischer<sup>20)</sup> ergab den Wert,  $+6.7^\circ$ .

Ca gehalt: Gefunden 9.30, berechnet für  $(C_6H_{11}O_7)_2Ca$ , 9.32% Ca.

6). Calciumgalaktonat.

0.7120g Sbst. 0.0886g H<sub>2</sub>O (100°, im Vakuum über P<sub>2</sub>O<sub>5</sub>). Gefunden 17.3, berechnet für  $(C_6H_{11}O_7)_2Ca \cdot 5H_2O$  17.3% H<sub>2</sub>O.

Spezifische Drehung: Alle Zahlen beziehen sich auf Hydrat. (1). Freie

Säure, Ca-salz gelöst in 7-Proz. HCL und berechnet für freie Säure,  $[\alpha]_D^{26} = -0.40^\circ \times 100/3.22 \times 1 = -12.4^\circ$ , unmittelbar nach Auflösen; sie

steigt beim Erwärmen auf  $[\alpha]_D^{26} = -1.89^\circ \times 100/3.22 \times 1 = -58.7^\circ$  an.

Diese Konstanten stimmen mit den Angaben von Ruff und Franz,<sup>17)</sup>  $-10.6^\circ$

bzw.  $-597^\circ$  gut überein. (2). Ca-salz, in Wasser,  $[\alpha]_D^{26} = +0.12^\circ \times 100/5.36 \times 1 = +2.24^\circ$ . Von Schnell und Tollens<sup>18)</sup> ist der Wert,  $+2.85^\circ$  gegeben.

Ca gehalt: Gefunden 7.68, berechnet für  $(C_6H_{11}O_7)_2Ca \cdot 5H_2O$ , 7.70% Ca.

B. Fermentpräparate.

Alle Fermentpräparate wurden in gleicher Weise wie in der vorangeh-

enden Mitteilung hergestellt.

### C. Reaktionsbedingungen und Bestimmungsmethode.

Das Reaktionsgemisch der Hemmungsversuche besteht aus:

Substrat, 0.0048 mol p-Nitrophenol- $\beta$ -d-galaktosid ..... 1 ccm,

Pufferlösung, 0.1 mol Acetatgemisch von pH 4.8, enthaltend

Hemmstoff in einer Konzentration von 0.1333 Mol ..... 2 ccm,

Enzymlösung ..... 1 ccm.

Versuchstemperatur: 30  $\pm$  0.5°.

Die in dieser Pufferlösung etwas schwer löslichen Ca-salze der Glucon- und Galaktosäure werden unter schwachem Erwärmen in Lösung gebracht. Dass es dabei keine Laktonisierung stattfindet, lässt sich aus dem unveränderten Drehungsvermögen erkennen.

Daraus wird 1.0 ccm Probe entnommen und in 9 ccm 10-Proz. Soda-Lösung hineinpipettiert. Die hierauf entstandene gelbe Färbung wird mit der Standardlösung verglichen, woraus sich der Hemmungsgrad berechnet.

### Protokolle

Tabelle 2.

Versuch mit dem Fermentpräparat aus *Prunus armeniaca*.

Hemmungs-körper	Spaltung % nach 40 Min.	Spaltungs % nach 120 Min.
Ohne	30	43
$\alpha$ -Kresol- $\beta$ -d-galaktosid	25	40
$\alpha$ -Kresol- $\beta$ -d-glucosid	23	35
Galaktose	30	43
Glucose	30	43
Ca-galaktonat	30	43
Ca-gluconat	10	20

Tabelle 4.

Versuch mit dem Fermentpräparat aus *Glycine hispida*.

Hemmungs-körper	Spaltungs % nach 253 Min.	Spaltungs % nach 1415 Min.
Ohne	5	20

Tabelle 3.

Versuch mit dem Fermentpräparat aus *Sesamum indicum*.

Hemmungs-körper	Spaltungs % nach 350 Min.	Spaltungs % nach 1785 Min.
Ohne	20	50
$\alpha$ -Kresol- $\beta$ -d-galaktosid	10	23
$\alpha$ -Kresol- $\beta$ -d-glucosid	20	50
Galaktose	5	18
Glucose	20	50
Ca-galaktonat	5	10
Ca-gluconat	20	50

Tabelle 5.

Versuch mit dem Fermentpräparat aus *Zea mays*.

Hemmungs-körper	Spaltungs % nach 95 Min.	Spaltungs % nach 260 Min.
Ohne	30	50

Phenol- $\beta$ -d-galaktosid	0	3
Phenol- $\beta$ -d-glucosid	5	20
Galaktose	0	4
Glucose	5	23
Ca-galaktonat	0	2
Ca-gluconat	5	20

Tabelle 6.

Versuch mit dem Fermentpräparat aus Takadiastase.

Hemmungs-körper	Spaltungs % nach 83 Min.	Spaltungs % nach 200 Min.
Ohne	30	50
o-Kresol- $\beta$ -d-galaktosid	10	20
o-Kresol- $\beta$ -d-glucosid	30	50
Galaktose	10	20
Glucose	30	50
Ca-galaktonat	10	18
Ca-gluconat	30	50

Tabelle 8.

Versuch mit dem Fermentpräparat aus *Irpea lacteus*.

Hemmungs-körper	Spaltungs % nach 1060 Min.	Spaltungs % nach 8770 Min.
Ohne	43	65
o-Kresol- $\beta$ -d-galaktosid	20	40
o-Kresol- $\beta$ -d-glucosid	43	65
Galaktose	15	30
Glucose	43	65
Ca-galaktonat	20	40

o-Kresol- $\beta$ -d-galaktosid	10	20
o-Kresol- $\beta$ -d-glucosid	30	50
Galaktose	10	20
Glucose	30	50
Ca-galaktonat	8	15
Ca-gluconat	50	50

Tabelle 7.

Versuch mit dem Fermentpräparat aus *Aspergillus niger*.

Hemmungs-körper	Spaltungs % nach 360 Min.	Spaltungs % nach 870 Min.
Ohne	20	40
o-Kresol- $\beta$ -d-galaktosid	8	15
o-Kresol- $\beta$ -d-glucosid	20	40
Galaktose	8	16
Glucose	20	40
Ca-galaktonat	5	10
Ca-gluconat	20	40

Tabelle 9.

Versuch mit dem Fermentpräparat aus *Corticium centrifigum* (Myzel).

Hemmungs-körper	Spaltungs % nach 2325 Min.	Spaltungs % nach 6945 Min.
Ohne	7	15
o-Kresol- $\beta$ -d-galaktosid	3	6
o-Kresol- $\beta$ -d-glucosid	7	15
Galaktose	3	6
Glucose	7	15
Ca-galaktonat	3	6

Ca-gluconat	43	65	Ca-gluconat	7	15
-------------	----	----	-------------	---	----

Tabelle 10. Versuch mit dem Fermentpräparat aus der Kulturlösung von *Corticium centrifigum*. Tabelle 11.

Versuch mit dem Fermentpräparat aus dem Schneckenhepatopankreas.

Hemmungs-körper	Spaltungs % nach 120 Min.	Spaltungs % nach 320 Min.	Hemmungs-körper	Spaltungs % nach 120 Min.	Spaltungs % nach 320 Min.
Ohne	18	31	Ohne	50	80
o-Kresol- $\beta$ -d-galaktosid	8	15	o-Kresol- $\beta$ -d-galaktosid	30	52
o-Kresol- $\beta$ -d-glucosid	16	31	o-Kresol- $\beta$ -d-glucosid	30	52
Galaktose	12	18	Galaktose	50	80
Glucose	18	31	Glucose	50	80
Ca-galaktonat	10	18	Ca-galaktonat	32	54
Ca-gluconat	15	31	Ca-gluconat	28	54

Tabelle 12. Versuch mit dem Fermentpräparat aus der Ochsenleber. III. Fraktionierungsversuche an einigen  $\beta$ -Galaktosidasepräparaten verschiedener Herkunft. Ein Beitrag zur Frage der Glykosidatypen.

Hemmungs-körper	Spaltungs % nach 197 Nin	Spaltungs % nach 432 Min.
Ohne	30	50
o-Kresol- $\beta$ -d-galaktosid	20	52
o-Kresol- $\beta$ -d-glucosid	20	30
Galaktose	30	50
Glucose	30	50
Ca-galaktonat	30	50
Ca-gluconat	10	17

in seinem Hemmungsverhalten dem Emulsin-typ, während sich das Aktivitätsverhältnis in der Spaltung einiger  $\beta$ -Galaktoside, namentlich des o-Kresol-, Guajakol-, Methylsalicylat-, m, m'-Xylenol- $\beta$ -galaktosids, als ganz verschieden von Mandel- bzw. Aprikose-emulsin erweist. Hierbei kann es auch möglich sein, wie von Akamatsuschen Schulern angenommen<sup>7)</sup>, dass derartige neue

Im zweiten Kapitel dieser mitteilungen habe ich hervorgehoben, dass es nicht selten solche  $\beta$ -Galaktosidasen gibt, die in ihrem Hemmungstyp zwar dasselbe, jedoch in dem Aktivitätsverhältnis voneinander verschieden sind. So gehört z.B. das Enzym aus Ochsenleber

Aktivitätsverhältnis durch Mischung zweier  $\beta$ -Galaktosidasen von Emulsin- und Taka-typ zustande kommt, wobei die letztere wegen geringeres Gehaltes dem Nachweis durch hemmung entgegangen worden war. Zur Entscheidung dieser Frage habe ich die Fraktionierung der Enzympräparate unternommen, um zu sehen, ob eine teilweise Trennung beider  $\beta$ -Galaktosidase-typen stattfinden würde, falls das Enzympräparat wirklich ein Gemisch darstellt. Solche Versuche habe ich schon an der  $\beta$ -Galaktosidase von Takadiastase ausgeführt und festgestellt, dass nur einzige  $\beta$ -Galaktosidase darin vorkommt. In der vorliegenden Arbeit wurde an Fermentpräparaten aus Aprikosen-emulsin, Sesamum-Samen und Ochsenleber versucht, zu prüfen, ob das Aktivitätsverhältnis gegenüber verschiedenem  $\beta$ -Galaktosiden sowie auch das Verhalten gegen Hemmungskörper bei der Fraktionierung sich ändern oder nicht.

Zur Bestimmung des Aktivitätsverhältnisses dienten als Substrat bei Aprikosen-ferment Phenol- und o-Kresol- $\beta$ -galaktosid und bei den Fermenten aus Sesamum-Samen sowie Ochsenleber zwölf  $\beta$ -Galaktoside mit verschiedenen phenolischen Aglykonen. Ausserdem wurde die  $\beta$ -glucosidatische Wirkung jeder Fermentfraktion mit Phenol- und o-Kresol- oder p-Nitrophenol- $\beta$ -glucosid als Substrat ermittelt.

Das Hemmungstyp wurde, nach der schönen Methode von Akamatsu, mit p-Nitrophenol- $\beta$ -galaktosid als Substrat und mit Phenol- oder o-Kresol- $\beta$ -galaktosid und entsprechenden  $\beta$ -Glucosiden, Galaktose, Glucose Ca-galaktonat und Gluconat als Hemmungkörper bestimmt. Die erhaltenen Resultate sind in folgenden Tabellen 1—3 zusammengestellt.

Tabelle 1.

## Fraktionierung des Aprikose-emulsins.

## Aktivitätsverhältnis und Hemmungstyp.

Fermentfraktionen: Dazu wurde die Fermentlösung durch stufenweise Fällung mit Methanol fraktioniert.

Nr. 1. Ausgangslösung A, 1.7-proz. Lösung von nach B. Helferich und Mitarbeitern<sup>4)</sup> mit Tanninverfahren hergestelltem Präparat.

Nr. 2. Ausgangslösung A, gefällt mit 15-proz. Methanol, Niederschlag in Wasser gelöst.

Nr. 3. Filtrat aus Nr. 2, gefällt mit 25-proz. Methanol, Niederschlag in Wasser gelöst.

Nr. 4. Filtrat aus Nr. 3, gefällt mit 40-proz. Methanol, Niederschlag in Wasser gelöst.

Nr. 5. Filtrat aus Nr. 4, gefällt mit 60-proz. Methanol, Niederschlag in Wasser gelöst.

Nr. 6. Filtrat aus Nr. 5, gefällt mit 80-proz. Methanol, Niederschlag in anialium-Wasser gelöst.

Nr. 7. Ausgangslösung B, eine andere Sorte des Tanninpräparats, 1.7 proz. zehl. sauer Lösung.

Nr. 8. Ausgangslösung B, gefällt mit 50-proz. Methanol, Niederschlag in anialium-Wasser gelöst.

Nr.	Hemmungstyp	Aktivitätsverhältnis*			
		$\beta$ -Galaktosid		$\beta$ -Glucosid	
		Phenol	o-Kresol	Phenol	o-Kresol
1.	E**	1	16.3	6.95 (1)	161.1 (23.2)
2.	E	1	12.6	5.7 (1)	176.6 (30.8)
3.	E	1	20.2	8.6 (1)	179.0 (21.0)
4.	E	1	17.3	13.9 (1)	378.0 (27.2)
5.	E	1	17.8	1.28 (1)	28.2 (22.0)
6.	E	1	18.8	4.74 (1)	110.5 (23.3)
7.	E	1	14.5	6.1 (1)	143.3 (23.6)
8.	E	1	18.4	8.8 (1)	229.4 (26.1)

\* Aktivitätswert für Phenol- $\beta$ -galaktosid ist als 1 gesetzt. Eingeklammerte Zahlen zeigen das Aktivitätsverhältnis zwischen Phenol- und o-Kresol- $\beta$ -glucosid.

\*\* E bedeutet die Hemmung von Emulsin-typ, d.h. die Fermentwirkung wird durch  $\beta$ -Glucosid,  $\beta$ -Galaktosid und Ca-gluconat, nicht aber durch Glucose, Galaktose und Ca-galaktonat gehemmt.

Daraus ist zu ersehen, dass das Verhältnis der Fermentaktivität gegenüber beiden  $\beta$ -Galaktosiden bei der Fraktionierung fast unverändert bleibt. Dies deutet mit Wahrscheinlichkeit darauf hin, dass die  $\beta$ -Galaktosidase des Aprikose-emulsins einheitlich ist. Derselbe Sachverhalt kann auch von der  $\beta$ -Glucosidase des Emulsins gelten.

Bezüglich des Zusammenhangs der  $\beta$ -Glucosidase mit der  $\beta$ -Galaktosidase in Emulsin ist schon von B. Helferich und Mitarbeitern<sup>5)</sup> eine Ansicht hervorgehoben worden, wonach sowohl  $\beta$ -Glucoside als auch  $\beta$ -Galaktoside durch ein und dasselbe Enzym das Süßmandelemulsins gespalten werden. Gegen diese Auffassung spricht jedoch der Befund von Miwa und Mitarbeitern<sup>2)</sup>, dass das Aktivitätsverhältnis des Aprikose-emulsins gegenüber Phenol- $\beta$ -glucosid und - $\beta$ -galaktosid bei der Fraktionierung mittels Tonerde B-Adsorption sowie auch mit Methanolfällung Veränderung erfährt, die sicher ausserhalb der Fehlergrenzen liegt. Solche Resultate können wohl

am leichtesten mit der Annahme erklärt werden, dass die Spaltung der  $\beta$ -Glucoside und der  $\beta$ -Galaktoside durch verschiedene Fermente des Emulsins bewirkt wird. Auf ganz anderen Gründen stellte Akamatsusche Schule<sup>(16)</sup> eine Spezifitätstheorie auf, wonach  $\beta$ -Glucosidase und  $\beta$ -Galaktosidase des Emulsins verschiedene Enzyme darstellen. Auch meine Versuche haben ergeben, dass der Wirkungsquotient,  $\beta$ -Glucosidase :  $\beta$ -Galaktosidase, durch Fraktionierung mit Methanol oft beträchtliche Schwankung aufweist, was ebenfalls die Annahme der Sonderexistenz zweier, verschiedener Enzyme nahelegt.

Tabelle 2.

Fraktionierung der Fermente von *Sesamum indicum*.

## Aktivitätsverhältnis und Hemmungstyp.

## Fermentfraktionen :

- Nr. 1. Ausgangslösung, Auszug mit 0.05n-Ammoniak aus Acetonpulver der Samen von *Sesamum indicum*, neutralisiert, von entstandenem Niederschlag befreit, dialysiert.
- Nr. 2. Niederschlag, der beim Neutralisieren des ammoniakalischen Extraks gebildet wurde, in Wenig Wasser suspendiert.
- Nr. 3. Fermentlösung Nr. 1, adsorbiert an Tonerde B bei pH 5.6, gewaschen mit 0.05m Acetatgemisch von pH 4.8, eluiert mit 0.05n-NH<sub>3</sub>, neutralisiert.
- Nr. 4. Fermentlösung Nr. 1, mit Essigsäure zu pH 4.8 angesäuert, von entstandenem Niederschlag befreit, dialysiert.
- Nr. 5. Fermentlösung Nr. 4, eingeengt bei 30-33° unter vermindertem Druck.

Nr.	Hemmungstyp	Aktivitätsverhältnis *											
		$\beta$ -Galaktosid vor											
		Phenol	o-Kresol	p-Kresol	m-Kresol	Guajakol	Salicyl-aldehyd	Methylsalicylat	P-Oxyacetophenon	Vanillin	Isoeugenol	1,3,5-Xylenol	p-Nitrophenol
1.	T** 1	0.84	0.92	0.88	0.56	0.75	0.24	0.81	0.73	0.41	0.94	1.03	0.16 0.26
2.	T 1	1	1.07	1	0.56	0.92	0.23	1.07	1	0.50	1	1.24	0.21 0.88
3.	T 1	0.82	1.01	1	0.56	0.82	0.25	1.02	0.88	0.53	1.05	0.94	0.92 0.40
4.	T 1	0.80	0.87	1.04	0.64	0.89	0.27	0.90	0.75	0.50	1.03	1.02	0.12 0
5.	-- 1	--	--	--	--	--	--	--	--	--	--	1.01	0.17 0.02

\* Die Aktivität für Phenol- $\beta$ -galaktosid ist als 1 gesetzt.

\*\* T : Hemmung von Taka-typ, d.h.  $\beta$ -Galaktosidasewirkung wird durch  $\beta$ -

Galaktoside, Galaktose und Ca-galaktonat gehemmt, nicht aber durch Verbindungen der Glucosereihe.

Die Ergebnisse in Tabelle 2. zeigen, dass das Aktivitätsverhältnis der  $\beta$ -Galaktosidase von *Sesamum*-samen gegenüber zwölf  $\beta$ -Galaktosiden bei der Fermentfraktionierung fast unverändert bleibt. Auch das Hemmungstyp jeder Fermentfraktion bleibt dasselbe. Daraus kann man mit wahrscheinlichkeit schliessen, dass im Samen von *Sesamum* nur einzige  $\beta$ -Galaktosidase im Spiel ist.

Hingegen verhielt sich die  $\beta$ -Glucosidatische Aktivität des *Sesamum*-enzyms unabängig von der  $\beta$ -Galaktosidasewirkung bei der Fermentfraktionierung, was man als Beweis dafür betrachten darf, dass beide Glykosidasen von *Sesamum*-samen voneinander verschieden sind. Weiterhin stösst man bei der  $\beta$ -Glucosidase von *Sesamum*-samen auf einen merkwürdigen Tatbestand, dass das Verhältnis der Wirkung gegen Phenol- $\beta$ -glucosid : o-Kresol- $\beta$ -glucosid, eine so erhebliche Schwankung aufweist, dass sie schwer für experimentellen Fehler gehalten werden kann. Solche Ergebnisse lassen uns vielmehr daran denken, dass die *Sesamum*- $\beta$ -Glucosidase ein Gemisch von mehr als zwei Enzymen mit verschiedener relativer Spezifität darstellt. Näheres darüber soll an anderer Stelle berichtet werden.

Tabelle 3,  
Fraktionierung der Fermente von Ochsenleber.  
Aktivitätsverhältnis und Hemmungstyp.

Fermentfraktionen:

- Nr. 1. Ausgangslösung A, Ochsenleberautolysat, klar zentrifugiert und dialysiert.
- Nr. 2. Fermentlösung Nr. 1, 28 Tage bei 25-27° stehen gelassen.
- Nr. 3. Ausgangslösung B, Autolysat anderer Sorte, dialysiert.
- Nr. 4. Fermentlösung Nr. 3, adsorbiert an Tonerde B bei pH 5.5, eluiert bei pH 4.8, dialysiert.
- Nr. 5. Tonerde B-Adsorbat, nach Vorelution bei pH 4.8, eluiert mit 0.05n-NH<sub>3</sub>, dialysiert.
- Nr. 6. Restlösung der Tonerde B-Adsorption, dialysiert.
- Nr. 7. Dieselbe Fermentlösung wie Nr. 6, Aktivitätsbestimmung derselben aber erfolgte bei pH 7.0 im Gegensatz zu pH 4.8 bei Nr. 6.
- Nr. 8. Acetonpräparat der Ochsenleber, mit 0.05n-NH<sub>3</sub> ausgezogen, neutralisiert, dialysiert.
- Nr. 9. Rückstand aus Nr. 8, unter Zusatz von Wasser, 74 Stdn., bei 30° autolysiert, dialysiert.

Nr. 10. Niederschlag, der beim Zentrifugieren der Ausgangslösung B gebildet wurde, in wenig Wasser suspendiert.

Nr.	Hemmungstyp	Aktivitätsverhältnis *												$\beta$ -Glucosid von Phenol	$\beta$ -Nitrophenol		
		$\beta$ -Galaktosid von															
		Phenol	o-Kresol	p-Kresol	m-Kresol	Guaiakol	Salicylaldehyd	Methylsalicylat	p-Oxyacetophenon	Vanillin	Isoeugenol	1,3,5-Xylenol	p-Nitrophenol				
1.	E** 1	1.14	1.31	1.15	0.104	3.91	0.048	3.91	4.87	0.46	1	2.51	4.55	2.63			
2.	E 1	—	1.42	—	—	—	—	4.13	4.25	—	1.02	3.44	1.60	3.74			
3.	E 1	1	1.39	1.25	0.12	—	0.048	5.23	5.84	0.44	1.16	3.16	12.4	12.6			
4.	E 1	0.93	1.46	1.25	—	—	—	2.84	4.05	0.39	1.01	2.28	12.6	22.3			
5.	E 1	1.02	1.53	1.38	—	—	—	4.90	4.92	0.51	1.13	3.00	15.3	13.1			
6.	E 1	1.02	1.50	1.28	0.10	—	0.054	4.44	4.93	0.51	1.20	3.81	10.1	11.2			
7.	— 1	1.03	1.46	1.44	0.12	—	0.050	5.74	6.11	0.42	1.03	4.30	—	—			
8.	E 1	1.07	1.37	1.30	—	6.17	—	6.11	6.00	—	1.07	4.56	5.56	3.84			
9.	E 1	1.11	2.02	1.64	—	—	—	6.20	6.86	—	—	5.30	—	—			
10.	E —	—	—	—	—	—	—	—	—	—	—	—	—	—			

\* Die Aktivität für Phenol- $\beta$ -galaktosid ist als 1 gesetzt.

\*\* E bedeutet die Hemmung von Emulsin-typ.

Aus dieser Tabelle ist zu ersehen, dass sowohl das Aktivitätsverhältnis gegenüber angegebenen  $\beta$ -Galaktosiden wie auch das Hemmungstyp bei der Fraktionierung des Fermentpräparates fast unverändert bleiben. Demnach erscheint es uns möglich, anzunehmen, dass die  $\beta$ -Galaktosidase der Ochsenleber vielleicht einheitlich sei. Nach ihrer Wirkungsreihenfolge in der Spaltung von Phenol-, o-, m- und p-Kresol- $\beta$ -galaktosid sowie ihrem Verhalten gegenüber Hemmungskörpern, ist die  $\beta$ -Galaktosidase der Ochsenleber von Kobayashi <sup>7)</sup> dem Emulsin-typ zugeteilt worden. Es ist insofern wohl möglich, das Ochsenleber-ferment in Emulsin-typ einzureihen, als man das Verhalten dieses Enzyms gegenüber den geprüften Hemmungskörpern als wichtiges Merkmal in Betracht zieht. Jedoch lässt die Tatsache, dass das Aktivitätsverhältnis dieses Fermentes gegenüber verschiedenen  $\beta$ -Galaktosiden von demjenigen des Mandelémulsins mehr oder weniger stark abweicht, mit Wahrscheinlichkeit vermuten, dass beide  $\beta$ -Galaktosidasen in allen Einzelheiten miteinander nicht identisch sind. Hierzu erscheint uns die Annahme vielmehr naheliegend, dass die Struktur des Enzyms, die das

Verhalten gegenüber Hemmungskörpern bestimmt, bei beiden Fermenten dieselbe und diejenige, die für das Aktivitätsverhältnis verantwortlich ist, voneinander verschieden ist.

Für solche Auffassung spricht ferner auch der Unterschied in der pH-Abhängigkeit zwischen den beiden  $\beta$ -Galaktosidasen. Wie Abbildung 1 zeigt, weist die Aktivitäts-pH-Kurve der  $\beta$ -Galaktosidase der Ochsenleber eine ziemlich breite pH-Optimumzone auf, was auch von Kobayashi beobachtet worden ist. Sie weicht von derjenigen des Mandel-emulsins stark ab.

Dass sie nicht etwa durch Begleitstoffe zu stande kommt, sondern der  $\beta$ -Galaktosidase der Ochsenleber eigen ist, kann man auch aus dem Umstande ersehen, dass die Kurve bei der Fraktionierung des Enzyms unverändert bleibt. Der von etwa pH 5 an nach saurer Seite steil absteigende Verlauf der Kurve findet seinen Grund vielleicht darin, dass die  $\beta$ -Galaktosidase der Ochsenleber gegen H-Ionen ungemein empfindlich ist. So ist z. B. beobachtet worden, dass eine Fermentlösung aus Ochsenleber durch 3-minütigen Aussetzen zu pH 4.4 etwa 70-proz. ihrer  $\beta$ -galaktosidatischen Aktivität einbüsst.

Aus den obigen Ergebnissen möchte ich folgendes erwähnen: es ist möglich, auf Grund des Verhaltens gegenüber Hemmungskörpern,  $\beta$ -Galaktosidase in zwei Typen, Emulsin- und Taka-typ, einzuteilen, jedoch bedeutet die Identität in dem Hemmungstyp nicht immer die der Gesamtstruktur des Fdmentmoleküls.

Die Bedingungen der enzymatischen Reaktion sowie der Hemmungsversuche habe ich in einer früheren Mitteilung<sup>15)</sup> und im zweiten Kapitel dieser Berichte beschrieben. Zur Ermittlung des pH-Optimums an verschiedenen Fermentfraktionen der Ochsenleber, mit Ausnahme von Nr. 1, diente die p-Nitrophenolmethode, die bei den Hemmungsversuchen immer angewendet wurde.

#### Protokolle.

A : Bestimmung des Aktivitätsverhältnisses an Fermentfraktionen - (Nr. 1-8) aus den Samen von *Prunus armeniaca*.

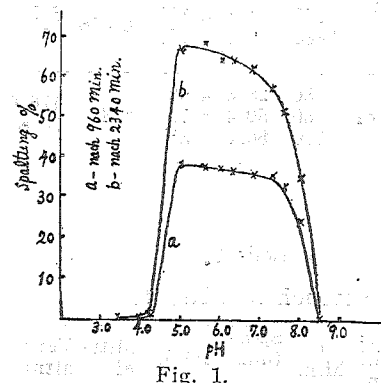


Fig. 1. Aktivitäts-pH-Kurve der  $\beta$ -Galaktosidase der Ochsenleber.





Glucose	15	25
Ca-galaktonat	15	25
Ga-gluconat	5	10

Tabelle 14.

Versuch mit Nr. 5.  
(Enzymmenge 1/20)

Hemmungs-körper	Spaltung % nach	
	260 Min.	720 Min.
Ohne	22	35
Phenol-β-d-galaktosid	16	26
Phenol-β-d-glucosid	15	21
Galaktose	22	35
Glucose	22	35
Ca-galaktonat	22	35
Ca-gluconat	7	12

Glucose	20	35
Ca-galaktonat	20	35
Ca-gluconat	6	13

Tabelle 15.

Versuch mit Nr. 6.

Hemmungs-körper	Spaltung % nach	
	240 Min.	620 Min.
Ohne	23	36
Phenol-β-d-galaktosid	17	26
Phenol-β-d-glucosid	14	23
Galaktose	23	36
Glucose	23	36
Ga-galaktonat	23	36
Ca-gluconat	6	12

C: Bestimmung des Aktivitätsverhältnisses an Fermentfraktionen  
(Nr. 1- 5) aus den Samen von *Seramum indicum*.

Tabelle 16.  
Versuch mit Nr. 1.

Substrat: β-Galaktosid von	t Min.	Spal-tung %	10 <sup>3</sup> . k	Mittl.-Verh-eil	Verhältnis
Phenol	1200 2830	33.4 57.3	0.147 0.131	0.139	1
o-Kresol	1200 2830	29.4 50.1	0.126 0.107	0.117	0.84
p-Kresol	1200 2830	30.3 56.1	0.130 0.126	0.128	0.92
m-Kresol	1235 4210	30.6 67.8	0.127 0.117	0.122	0.88
Guajakol	1235 4210	22.1 47.7	0.0878 0.0669	0.0774	0.56
Salicyl-aldehyd	1235 4210	27.3 60.2	0.112 0.095	0.104	0.75
Methylsalicylat	1235 4210 10080	10.6 27.0 46.8	0.0394 0.0325 0.0274	0.331	0.24

p-Oxyacetophenon	1235 4210	32.7 60.5	0.139 0.026	0.113	0.81
Vanillin	1235 4210	26.7 59.9	0.109 0.094	0.102	0.73
Isoeugenol	1235 4210	19.5 44.9	0.0763 0.0615	0.0689	0.41
1,3,5-Xylenol	1200 2830	33.0 53.4	0.145 0.117	0.131	0.94
p-Nitrophenol	1200 2830	35.4 56.7	0.158 0.128	0.143	1.03
β-Glucosid von Phenol	2830 38380 12899	14.5 36.9 45.5	0.0240 0.0238 0.0205	0.0228	0.164 (1)
o-Kresol	1420 4190 8645	11.8 28.8 51.3	0.0384 0.0352 0.0362	0.0366	0.26 (1.6)

Tabelle 17.  
Versuch mit Nr. 2.

Substrat: $\beta$ -Galakt- osid von	t Min.	Spal- tung %	10 <sup>8</sup> . k	Mitt- el	Verh- ältnis
Phenol	1435 2890	37.2 60.8	0.141 0.141	0.141	1
<i>o</i> -Kresol	1065 2535	33.4 50.1	0.166 0.119	0.143	1.01
<i>p</i> -Kresol	1065 2535	22.8 57.3	0.155 0.146	0.151	1.07
<i>m</i> -Kresol	1200 2600	34.1 54.0	0.151 0.130	0.141	1.00
Guajakol	1065 2535	18.9 34.5	0.0854 0.0725	0.0790	0.56
Salicyl- aldehyd	1200 2600	32.7 50.4	0.143 0.117	0.130	0.92
Methylsa- licylat	1065 5335 7589	9.3 28.2 40.8	0.0596 0.0270 0.0300	0.0322	0.23
<i>p</i> -Oxyace- tophenon	1200 2600	33.0 60.5	0.145 0.155	0.150	1.07
Vanillin	1200 2600	32.7 57.0	0.143 0.141	0.142	1.00
Iso- eugenol	1200 2920	20.6 32.0	0.0835 0.0574	0.0705	0.50
1, 3, 5- Xylenol	1065 2535	31.7 51.7	0.155 0.125	0.140	1.00
<i>p</i> -Nitro- phenol	1065 2535	39.8 57.0	0.207 0.144	0.176	1.24
$\beta$ -Glucos- id von Phenol	1080 4160 8260	5.3 23.5 36.6	0.0217 0.0280 0.0239	0.0245 (1)	0.21
<i>c</i> -Kresol	1080 4160	22.1 62.7	0.104 0.103	0.1035 (4.22)	0.88

Tabelle 18.  
Versuch mit Nr. 3.

Substrat: $\beta$ -Galakt- osid von	t Min.	Spal- tung %	10 <sup>8</sup> . k	Mitt- el	Verh- ältnis
Phenol	1305 2755	36.3 54.3	0.149 0.127	0.138	1
<i>o</i> -Kresol	1155 2600	27.0 47.4	0.118 0.107	0.113	0.82
<i>p</i> -Kresol	1155 2600	32.0 55.5	0.145 0.135	0.140	1.01
<i>m</i> -Kresol	1155 2600	32.0 54.9	0.145 0.133	0.139	1.00

Guajakol	1155 4030	19.2 48.3	0.0830 0.0710	0.0770	0.56
Salicyl- aldehyd	1155 2600	27.0 47.4	0.118 0.107	0.113	0.82
Methyl- salicylat	2600 6878	20.4 38.8	0.0380 0.0310	0.0345	0.25
<i>p</i> -Oxyace- tophenon	1155 2600	33.0 54.3	0.151 0.131	0.141	1.02
Vanillin	1155 2600	25.2 49.4	0.129 0.114	0.122	0.88
Iso- eugenol	1155 4030	18.9 46.8	0.0788 0.0680	0.0734	0.53
1, 3, 5- Xylenol	1155 2600	32.0 57.3	0.145 0.143	0.144	1.05
<i>p</i> -Nitro- phenol	1305 2755	36.6 49.4	0.151 0.168	0.130	0.94
$\beta$ -Glucos- id von Phenol	1085 5450 8260	9.3 40.2 54.9	0.0388 0.0409 0.0418	0.0401 (1)	0.29
<i>c</i> -Kresol	1080 5450 8260	12.6 54.6 59.3	0.0540 0.0629 0.0473	0.0547 (1.36)	0.40

Tabelle 19.

## Versuch mit Nr. 4.

Substrat: $\beta$ -Galakt- osid von	t Min.	Spal- tung %	10 <sup>8</sup> . k	Mit- tel	Verh- ältnis
Phenol	1130 3940	17.1 49.7	0.0721 0.0757	0.0740	1
<i>c</i> -Kresol	2665 6910	29.7 62.0	0.0574 0.0608	0.0591	0.80
<i>p</i> -Kresol	2665 6910	31.7 65.3	0.0621 0.0665	0.0643	0.87
<i>m</i> -Kresol	2665 6910	37.8 70.1	0.0774 0.0780	0.0767	1.04
Guajakol	2630 5518	27.6 41.3	0.0533 0.0419	0.0476	0.64
Salicyl- aldehyd	3129 6163	35.1 64.0	0.0600 0.0720	0.0660	0.89
Methylsa- licylat	2665 7000 9808	12.2 25.8 35.1	0.0212 0.0185 0.0192	0.0196	0.27
<i>p</i> -Oxyace- tophenon	2665 6910	35.1 66.4	0.0705 0.0685	0.0695	0.90
Vanillin	2665 6910	29.1 58.1	0.0560 0.0547	0.0554	0.75

Iso-eugenol	2350 4028	17.7 29.7	0.0360 0.0380	0.0370	0.50
1,3,5-Xylenol	2665 6910	39.4 67.2	0.0820 0.0701	0.0761	1.03
p-Nitro-Phenol	1130 3940	18.3 48.3	0.0777 0.0726	0.0752	1.02
$\beta$ -Glucosid von Phenol	7000 12647	10.6 27.00	0.006950 0.010800	0.0888	0.12
$\alpha$ -Kresol	7000 12647	0 Spur	— —	— —	— —

Tabelle 20.  
Versuch mit Nr. 5

D: Hemmungsversuche mit den Fermentfraktionen (Nr. 1-4) aus den Samen von *Sesamum indicum*.

Tabelle 21.  
Versuch mit Nr. 1.

Hemmungskörper	Spaltung % nach	
	350 Min.	1785 Min.
Ohne	20	50
$\alpha$ -Kresol- $\beta$ -d-galaktosid	10	23
$\alpha$ -Kresol- $\beta$ -d-glucosid	20	50
Galaktose	5	18
Glucose	20	50
Ca-galaktonat	5	10
Ca-gluconat	20	50

Tabelle 23.  
Versuch mit Nr. 3.

Hemmungskörper	Spaltung % nach	
	420 Min.	1620 Min.
Ohne	26	52
Phenol- $\beta$ -d-galaktosid	10	21
phenol- $\beta$ -d-glucosid	26	52
Galaktose	10	21
Glucose	26	52

Substrat:	t Min.	Spal- tung %	10 <sup>3</sup> . k	Mit- tel	Verh- ältnis
$\beta$ -Galaktosid von p-Nitro-Phenol	327 1447 2887	11.0 38.8 61.7	0.155 0.148 0.144	0.149	1.01
Phenol	1065 2479	27.9 59.6	0.134 0.159	0.147	1
$\beta$ -Glucosid von Phenol	2670 8345 15537	15.9 37.5 53.0	0.0282 0.0244 0.0211	0.0246	0.17
$\alpha$ -Kresol	8345 18405	5.3 10.6	0.00281 0.00264	0.0027	0.02

Tabelle 22.  
Versuch mit Nr. 2.

Hemmungskörper	Spaltung % nach	
	310 Min.	1487 Min.
Ohne	25	50
Phenol- $\beta$ -d-galaktosid	17	30
Phenol- $\beta$ -d-glucosid	25	50
Galaktose	10	20
Glucose	25	50
Ca-galaktonat	5	10
Ca-gluconat	25	50

Tabelle 24.  
Versuch mit Nr. 4.

Hemmungskörper	Spaltung % nach	
	1160 Min.	2640 Min.
Ohne	20	40
Phenold- $\beta$ -d-galaktosid	5	10
Phenol- $\beta$ -d-glucosid	20	40
Galaktose	5	10
Glucose	20	40

Ca-galaktonat	7	10
Ca-gluconat	26	52

Ca-galaktonat	2	6
Ca-gluconat	20	40

E: Bestimmung des Aktivitätsverhältnisses an Fermentfraktionen  
(Nr. 1-9) aus Ochsenleber.

Tabelle 25.  
Versuch mit Nr. 1.

Substrat: $\beta$ -Galakt- osid von	t Min.	Spal- tung %	10 <sup>3</sup> . k	Mitt- el	Verh- ältnis
Phenol	868 1947	30.0 56.4	0.178 0.185	0.181	1
o-Kresol	868 1330	33.4 47.1	0.204 0.208	0.206	1.14
p-Kresol	868 1947	42.2 59.0	0.275 0.199	0.237	1.31
m-Kresol	440 1505 1943	20.6 52.7 55.5	0.227 0.215 0.181	0.208	1.15
Guajakol	5568 11391	26.2 31.1	0.0236 0.0142	0.0189	0.104
Salicyl- aldehyd	197 417	29.7 45.8	0.777 0.639	0.708	3.91
Methyl- salicylat	5568 14288	12.9 19.2	0.01080 0.0067	0.00875	0.048
p-Oxyace- tophenon	197 417	29.7 45.8	0.777 0.639	0.708	3.91
Vanillin	67 193 325	12.2 31.7 51.0	0.843 0.848 0.953	0.881	4.87
Iso- eugenol	868 1947 4632	21.0 31.1 41.8	0.1176 0.0836 0.0508	0.0838	0.46
1,3,5- Xylenol	868 1947	30.3 55.8	0.180 0.183	0.182	1.00
p-Nito- phenol	145 325 465	15.9 28.2 35.1	0.519 0.443 0.404	0.455	2.51
$\beta$ -Glucos- id von Phenol	70 113 1070	15.4 18.9 77.5	1.038 0.820 0.606	0.821	4.55
p-Nitro- phenol	210 1070	23.5 62.0	0.554 0.393	0.477	2.63

Tabelle 26.  
Versuch mit Nr. 2.

Substrat: $\beta$ -Galakt- osid von	t Min.	Spal- tung %	10 <sup>3</sup> . k	Mitt- el	Verh- ältnis
Phenol	3057 10010	15.4 26.7	0.0238 0.0135	0.0187	1
p-Kresol	3057 10010	17.7 44.2	0.0277 0.0253	0.0265	1.42
p-Oxyace- tophenon	1430 3130	23.8 40.5	0.0826 0.0720	0.0773	4.13
Vanillin	1430 3130	24.1 41.8	0.0838 0.0751	0.0795	4.25
1,3,5- Xylenol	3057 10010	15.9 26.4	0.0246 0.0133	0.0190	1.02
p-Nitro- phenol	1430 3130	20.6 34.5	0.0701 0.0587	0.0644	3.44
$\beta$ -Glucos- id von Phenol	1430 3130	9.7 18.9	0.0310 0.0290	0.0300	1.60
p-Nitro- phenol	1430 3130	21.3 38.4	0.0727 0.0673	0.0700	3.74

Tabelle 27.  
Versuch mit Nr. 3.

Substrat: $\beta$ -Galakt- osid von	t Min.	Spal- tung %	10 <sup>3</sup> . k	Mitt- el	Verh- ältnis
Phenol	105 355 1420	11.0 32.3 72.9	0.500 0.477 0.400	0.459	1
o-Kresol	105 355 1420	11.0 32.0 73.5	0.500 0.472 0.406	0.459	1.00
p-Kresol	105 355 720	14.2 41.3 66.4	0.633 0.625 0.658	0.639	1.39
m-Kresol	105 355 720	12.9 38.1 60.2	0.571 0.587 0.556	0.571	1.25
Guajakol	1010 2580	12.9 25.8	0.0594 0.0502	0.0548	0.12
Methysal- icylat	2580 4550	12.9 19.5	0.0233 0.0207	0.0220	0.048

p-Oxyacetophenon	52 110 202	28.2 40.2 60.8	2.77 2.03 2.01	2.40	5.23
Vanillin	52 202	29.4 68.0	2.91 2.45	2.68	5.84
Iso-eugenol	410 2150	25.2 42.9	0.301 0.113	0.202	0.44
1,3,5-Xylenol	105 355 1420	14.2 36.3 75.0	0.633 0.550 0.424	0.535	1.16
p-Nitrophenol	105 202	29.4 49.1	1.44 1.45	1.45	3.16
$\beta$ -Glucosid von Phenol	37 105	37.8 75.5	5.57 5.81	5.69	12.4
p-Nitrophenol	37 105	40.8 72.9	6.15 5.40	5.78	12.6

Tabelle 28.  
Versuch mit Nr. 4.

Substrat: $\beta$ -Galaktosid von	t Min.	Spal-tung %	10 <sup>3</sup> k	Mitt-el	Verh-ältnis
Phenol	10050 15565	14.8 20.1	0.00620 0.00626	0.00659	1
o-Kresol	10050 15565	14.20 18.30	0.00620 0.00564	0.00613	0.93
p-Kresol	10050 15565	20.60 28.20	0.009970 0.00924	0.00961	1.46
m-Kresol	10050 15565	17.70 25.20	0.008420 0.00810	0.00826	1.25
p-Oxyacetophenon	7560 15565	30.60 44.90	0.0208 0.0166	0.0187	2.84
Vanillin	7560 15565	35.70 51.00	0.0254 0.0200	0.0227	4.05
Iso-eugenol	15565	8.80	0.00257		0.39
1,3,5-Xylenol	10050 15565	15.10 20.10	0.00707 0.00626	0.00667	1.01
p-Nitrophenol	7560 15565	27.60 32.30	0.0186 0.0169	0.0150	2.28
$\beta$ -Glucosid von Phenol	1420 3425	25.20 45.50	0.0888 0.0770	0.0829	12.6
p-Nitrophenol	1420 3425	42.90 62.00	0.171 0.123	0.147	22.3

Tabelle 29.  
Versuch mit Nr. 5.

Substrat: $\beta$ -Galaktosid von	t Min.	Spal-tung %	10 <sup>3</sup> k	Mitt-el	Verh-ältnis
Phenol	1175 2660	15.9 36.6	0.0640 0.0737	0.0689	1
o-Kresol	1175 2660	16.5 36.6	0.0667 0.0737	0.0702	1.02
p-Kresol	1175 2660	24.1 48.0	0.102 0.107	0.105	1.53
m-Kresol	1175 2660	22.1 44.9	0.0923 0.0973	0.0948	1.38
$\beta$ -Oxyacetophenon	210 1175	18.9 49.1	0.433 0.250	0.341	4.90
Vanillin	210 1175	18.9 49.7	0.433 0.254	0.343	4.92
Iso-eugenol	2660 4820	22.1 28.8	0.0408 0.0299	0.354	0.51
1,3,5-Xylenol	1175 2660	18.9 38.1	0.0774 0.0783	0.0779	1.13
p-Nitrophenol	550 1175	22.1 32.3	0.241 0.144	0.193	3.00
$\beta$ -Glucosid von Phenol	155 310	30.9 53.7	1.03 1.08	1.05	15.3
p-Nitrophenol	195 410	33.8 56.7	0.919 0.887	0.903	13.1
Tabelle 30.					
Versuch mit Nr. 6.					
Substrat: $\beta$ -Galaktosid von	t Min.	Spal-tung %	10 <sup>3</sup> k	Mitt-el	Verh-ältnis
Phenol	295 1070	25.5 55.5	0.434 0.329	0.381	1.11
o-Kresol	295 1070	25.2 59.0	0.428 0.362	0.395	1.02
p-Kresol	295 1070	35.4 70.9	0.644 0.500	0.572	1.50
m-Kresol	295 1070	31.1 65.3	0.548 0.430	0.489	1.28
Guajakol	2420 3210	20.6 24.1	0.0414 0.0370	0.0392	0.16
Methyalaicylat	2420 4210	12.9 14.8	0.0248 0.0165	0.0206	0.054

p-Oxyacetylphenon	90 220	31.1 55.5	1.77 1.60	1.69	4.44
Vanillin	90 220	34.5 58.1	2.04 1.71	1.88	4.93
Iso-eugenol	295 1600	16.2 38.1	0.260 0.130	0.195	0.51
1,3,5-Xylenol	295 1070	29.7 62.0	0.519 0.393	0.456	1.20
p-Nitrophenol	90 220	28.2 48.0	1.60 1.30	1.45	3.81
$\beta$ -Glucosid von Phenol	40 92	30.0 55.5	3.87 3.82	3.85	10.1
p-Nitrophenol	40 92	32.3 60.2	4.21 4.35	4.28	11.2

Tabelle 31.

Versuch mit Nr 7; ausgeführt bei pH 7.0 anstatt 4.8.

Substrat: $\beta$ -Galak-	t Min.	Spal- tung %	10 <sup>3</sup> . k	Mit- tel	Verh- ältnis
Phenol	290 1270	15.9 48.5	0.260 0.227	0.244	1
$\alpha$ -Kresol	290 1270	13.6 50.4	0.260 0.240	0.250	1.03
p-Kresol	290 1070	23.8 52.0	0.407 0.298	0.355	1.46
m-Kresol	290 1070	23.5 51.0	0.401 0.300	0.350	1.44
Guajakol	2420 321.	15.9 18.6	0.0311 0.0278	0.0294	0.12
Methylsalicylat	2420 4210	8.0 8.8	0.0150 0.0095	0.0122	0.05
p-Oxyacetylphenon	90 220	27.0 47.4	1.52 1.27	1.40	5.74
Vanillin	90 220	28.2 50.4	1.60 1.38	1.49	6.11
Iso-eugenol	295 1600	8.8 22.1	0.136 0.068	0.102	0.42
1,3,5-Xylenol	290 1270	17.4 46.8	0.286 0.216	0.251	1.03
p-Nitrophenol	90 220	22.1 35.7	1.21 0.89	1.05	4.30

Tabelle 32.  
Versuch mit Nr. 8.

Substrat: $\beta$ -Galak-	t Min.	Spal- tung %	10 <sup>3</sup> . k	Mit- tel	Verh- ältnis
Phenol	14070 28830	6.60.00211 8.80.00139	0.00175	1	
$\alpha$ -Kresol	14070 28830	7.30.00234 8.80.00139	0.00187	1.07	
p-Kresol	14070 28830	8.80.00284 12.20.00196	0.00240	1.37	
m-Kresol	14070 28830	8.80.00284 10.60.00169	0.00227	1.30	
Salicylaldehyd	10055 24215	26.4 36.9	0.0132 0.0083	0.0108	6.17
p-Oxyacetophenon	10055 24215	26.20.01310 36.60.00816	0.0107	6.11	
Vanillin	10055 24215	25.20.01250 37.50.00843	0.0105	6.00	
1,3,5-Xylenol	14070 28830	7.30.00234 8.30.00139	0.00187	1.07	
p-Nitrophenol	10055 24215	20.60.0100 28.20.00595	0.00798	4.56	
$\beta$ -Glucosid von Phenol	14070 28830	31.10.0115 41.10.00196	0.00973	5.56	
p-Nitrophenol	14070 28830	22.80.00799 30.30.00542	0.00671	3.84	

Tabelle 33.  
Versuch mit Nr. 9.

Substrat: $\beta$ -Galak-	t Min.	Spal- tung %	10 <sup>3</sup> . k	Mit- tel	Verh- ältnis
Phenol	28850	6.60.00103		1	
$\alpha$ -Kresol	28850	7.30.00114		1.11	
p-Kresol	28850	12.90.00208		2.02	
m-Kresol	28850	10.60.00169		1.64	
p-Oxyacetophenon	8400 24250	14.80.00828 22.10.00447	0.00638	6.20	
Vanillin	8400 24250	15.90.00695 25.20.00520	0.00707	6.86	
p-Nitrophenol	8400 24250	12.90.00714 18.90.00375	0.00545	5.3	

F : Hemmungsversuche mit jeder Fermentfraktionen (Nr. 1-10) aus Ochsenleber.

Tabelle 34.

Versuch mit Nr. 1.

Hemmungskörper	Spaltung % nach	
	197 Min.	432 Min.
Ohne	30	50
o-Kresol- $\beta$ -d-galaktosid	20	27
o-Kresol- $\beta$ -d-glucosid	20	30
Galaktose	30	50
Glucose	30	50
Ca-galaktonat	30	50
Ca-gluconat	10	17

Tabelle 35.

Versuch mit Nr. 3.

Hemmungskörper	Spaltung % nach	
	50 Min.	122 Min.
Ohne	30	50
o-Kresol- $\beta$ -d-galaktosid	22	35
o-Kresol- $\beta$ -d-glucosid	20	30
Galaktose	30	50
Glucose	30	50
Ca-galaktonat	30	50
Ca-gluconat	10	18

Tabelle 36.

Versuch mit Nr. 4.

Hemmungskörper	Spaltung % nach	
	1405 Min.	3845 Min.
Ohne	25	35
o-Kresol- $\beta$ -d-galaktosid	18	25

o-Kresol- $\beta$ -d-glucosid	15	22
Galaktose	25	35
Glucose	25	35
Ca-galaktonat	25	35
Ca-gluconat	8	14

Tabelle 37.

Versuch mit Nr. 5.

Hemmungskörper	Spaltung % nach	
	260 Min.	1325 Min.
Ohne	25	45
o-Kresol- $\beta$ -d-galaktosid	20	35
o-Kresol- $\beta$ -d-glucosid	17	30
Calaktose	25	45
Glucose	25	45
Ca-galaktonat	25	45
Ca-gluconat	8	15

Tabelle 38.

Versuch mit Nr. 6.

Hemmungskörper	Spaltung % nach	
	40 Min.	135 Min.
Ohne	20	40
o-Kresol- $\beta$ -d-galaktosid	15	25
o-Kresol- $\beta$ -d-glucosid	13	20
Galaktose	20	40
Glucose	20	40
Ca-galaktonat	20	40
Ca-gluconat	7	10

Tabelle 39.

Versuch mit Nr. 8.

Hemmungskörper	Spaltung % nach	
	2560 Min.	5455 Min.
Ohne	27	35
o-Kresol- $\beta$ -d-galaktosid	15	20
o-Kresol- $\beta$ -d-glucosid	10	15
Galaktose	27	35
Glucose	27	35
Ca-galaktonat	27	35
Ca-gluconat	5	8

Tabelle 40.

Versuch mit Nr. 8; ausgeführt bei pH 7.6 anstatt 4.8.

Hemmungskörper	Spaltung % nach	
	2605 Min.	5455 Min.
Ohne	15	24
o-Kresol- $\beta$ -d-galaktosid	8	14
o-Kresol- $\beta$ -d-glucosid	5	10
Galaktose	15	24
Glucose	15	24
Ca-galaktonat	15	24
Ca-gluconat	15	24

Tabelle 41.

Versuch mit Nr. 9.

Hemmungskörper	Spaltung % nach	
	3895 Min.	8640 Min.
Ohne	20	30
o-Kresol- $\beta$ -d-galaktosid	15	20
o-Kresol- $\beta$ -d-glucosid	8	15
Galaktose	20	30
Glucose	20	30

Ca-galaktonat	20	30
Ca-gluconat	5	8

Tabelle 42.

Versuch mit Nr. 10; ausgeführt bei pH 6.8 anstatt 4.8.

Hemmungskörper	Spaltung % nach	
	890 Min.	2100 Min.
Ohne	25	40
o-Kresol- $\beta$ -d-galaktosid	15	25
o-Kresol- $\beta$ -d-glucosid	13	20
Galaktose	25	40
Glucose	25	40
Ca-galaktonat	25	40
Ca-gluconat	25	40

G: Bestimmung des pH-Optimums an Fermentfraktionen (Nr. 1-6) aus Ochsenleder.

Tabelle 43.

Versuch mit Nr. 1. Substrat: 0.012 m. o-Kresol- $\beta$ -d-galaktosid.

Anfang	Ende	Spaltung % nach	
		960 Min.	2340 Min.
4.0	3.8	0	0
4.4	4.3	1.0	2.0
5.0	5.0	38.1	66.7
5.6	5.6	37.5	68.0
6.0	6.0	37.5	64.0
6.4	6.4	36.9	64.0
6.8	6.8	36.3	61.7
7.3	7.2	36.0	56.7
7.6	7.6	33.4	52.3

8.0	7.9	24.4	35.4
8.7	8.4	0	0

Tabelle 44.

Versuch mit Nr. 2. Substrat:

0.0024 m. p-Nitrophenol- $\beta$ -d-galaktosid.

pH		Spaltung % nach	
Anfang	Ende	920 Min.	2240 Min.
4.4	4.5	4	7
5.0	5.0	15	28
6.2	6.2	14	28
6.8	6.8	13	35
7.4	7.4	12	23
8.2	8.0	11	20

Tabelle 45.

Versuch mit Nr. 3. Substrat:

0.0024 m. p-Nitrophenol- $\beta$ -d-galaktosid.

pH		Spaltung % nach	
Anfang	Ende	52 Min.	128 Min.
4.6	4.6	20	30
5.0	5.0	32	53
6.2	6.2	30	50
7.2	7.2	30	48
8.2	8.0	25	40

Tabelle 46.

Versuch mit Nr. 4. Substrat:

0.0024 m. p-Nitrophenol- $\beta$ -d-galaktosid.

pH		Spaltung % nach	
Anfang	Ende	1605 Min.	3845 Min.
4.2	5	20	28

4.8	5.0	30	35
6.0	6.0	28	35
7.0	7.0	28	35
8.2	8.0	25	33

Tabelle 47.

Versuch mit Nr. 5. Substrat:

0.0024 m. p-Nitrophenol- $\beta$ -d-galaktosid.

pH		Spaltung % nach	
Anfang	Ende	257 Min.	1325 Min.
4.0	4.3	2	2
4.2	4.6	10	15
5.0	5.0	23	45
6.2	6.2	25	45
7.2	7.0	25	45
8.2	8.0	20	30

Tabelle 48.

Versuch mit Nr. 6. Substrat:

0.0024 m. p-Nitrophenol- $\beta$ -d-galaktosid.

pH		Spaltung % nach	
Anfang	Ende	40 Min.	135 Min.
4.2	4.4	12	18
4.4	4.6	20	30
5.0	5.0	22	40
6.0	6.0	20	40
6.8	6.8	20	40
7.2	7.0	18	38
8.2	8.0	15	30

Tabelle 49.

Versuch mit Nr. 8. Substrat:

0.0024 m. p-Nitrophenol- $\beta$ -d-galaktosid.

pH		Spaltung % nach	
Anfang	Ende	2565 Min.	5455 Min.
4.2	4.4	7	12
5.2	5.2	18	25
6.4	6.4	17	24
7.0	7.0	15	24
7.4	7.2	15	24
8.2	8.0	10	18

Tabelle 50.

Versuch mit Nr. 9. Substrat:  
0.0024 m. p-Nitrophenol- $\beta$ -d-galaktosid.

pH		Spaltung % nach	
Anfang	Ende	3775 Min.	12795 Min.
4.4	4.4	7	12

5.2	5.2	17	30
6.4	6.4	15	30
7.0	7.0	13	30
7.4	7.4	12	25
8.2	8.0	6	20

H: Inaktivierungsversuche durch H-Ionen mit Fermentfraktion Nr. 3 aus Ochsenleber.

Tabelle 51.

Substrat: 0.012 m. p-Kresol- $\beta$ -d-galaktosid.

Fermentlösung	t Min.	Spalt- ung %	$10^3 \cdot k$	Verh- ältnis
Ohne Behandeln.	1363	86.2	0.632	1
Bei 27°, pH 4.4*, 3 Min. aufbewahrt.	1363	45.5	0.194	0.307

\* Mit 0.1 Mol Acetatpuffer ang-  
essäuerst.

#### IV. Spezifität der $\beta$ -Galaktosidasen von Hepatopankreas der Schnecke, *Eulota pelliomphala*.

In den Hemmungsversuchen, die im zweiten Kapitel dieser Mitteilungen beschrieben sind, hat der Verfasser beobachtet, dass die Wirkung eines  $\beta$ -Galaktosidasepräparates aus der Schnecke, *Eulota pelliomphala*, nicht nur durch Verbindungen der Galaktosereihe sondern auch durch o-Kresol- $\beta$ -glucosid sowie Ca-gluconat deutlich gehemmt wird. Fernerhin erwies sich das Aktivitätsverhältnis dieses Fermentpräparates gegenüber einigen  $\beta$ -Galaktosiden, wie Salicylaldehyd-, Vanillin-, p-Nitrophenol- $\beta$ -galaktosid, als ganz verschieden sowohl von demjenigen des Aprikose-emulsins und der Taka-diaastase. Ohne experimentelle Begründung zu geben, wurde damals eine Vermutung geäussert, dass das Präparat ein Gemisch der  $\beta$ -Galaktosidasen Emulsin- und Taka-typs im Sinne der Akamatsuschen Schule, 6) 7) darstellen könnte. In Anbetracht der Befunde, dass es aber auch andere, bezüglich des Hemmungsverhaltens \*) sowie des Aktivitätsverhältnisses \*\*) weder

\*) T. Miwa, K. Nisizawa u. K. Tanaka, unveröffentlicht.

\*\*) Das Aktivitätverhältnis der  $\beta$ -Galaktosidasen von Ochsenleber; siehe das Kapitel III.

Emulsin- noch Taka-typ angehörende Enzymtypen gibt, scheint es uns nicht ausgeschlossen zu sein, dass die Schnecken- $\beta$ -galaktosidase auch ein einheitliches, neues Ferment-typ darstellt.

Bei der vorliegenden Arbeit hofften wir durch Fraktionierungsversuche festzustellen, ob in dem Schneckenhepatopankreas mehr als zweielei  $\beta$ -Galaktosidasen verschiedenen Hemmungsverhaltens und Aktivitätsverhältnisses enthalten sind oder nicht. Die Resultate werden in Tabelle 1 zusammenge stellt.

Tabelle 1.

Fraktionierung der  $\beta$ -Galaktosidase von Schneckenhepatopankreas.

Fermentfraktion:

- Nr. 1. Aus dem Acetonpräparat des Hepatopankreas wurde die Enzymlösung durch Extrahieren mit 20 facher Menge 0.05n-NH<sub>3</sub> erhalten, die, nach Neutralisieren und Dialyse, von entstandenem Niederschlag befreit wurde.
- Nr. 2. Der Niederschlag, der sich bei der Herstellung von Nr. 1 bildete, wurde in wenig Wasser suspendiert.
- Nr. 3. Fermentlösung Nr. 1 wurde bei pH 4.5 an Tonerde B adsorbiert, daraus mit Phosphatgemisch von pH 5.5 eluiert und wiederum auf pH 4.8 umgestellt.
- Nr. 4. Fermentlösung Nr. 1 wurde bei pH 5.5 an Tonerde B adsorbiert, daraus mit Acetatgemisch von pH 4.8 eluiert.
- Nr. 5. Fermentlösung Nr. 4 wurde etwa 10 fach verdünnt, Aktivität derselben wurde bei pH 2.8 (Citrat-HCl-Gemisch) anstatt bei pH 4.8 bestimmt.
- Nr. 6. Restlösung der Tonerde B-Adsorption bei pH 5.5 (Nr. 4), dialysiert und konzentriert.
- Nr. 7. Fermentlösung Nr. 1 wurde bei pH 5.5 an Tonerde B adsorbiert, nach Vorelution mit Acetatgemisch von pH 4.5, mit Phosphatgemisch von pH 7.2 eluiert und auf pH 4.8 umgestellt.
- Nr. 8. Fermentlösung Nr. 6 wurde nach Voradsorption bei pH 6.8 mit Tonerde B, bei pH 4.5 an Tonerde adsorbiert, mit 0.05 n-NH<sub>3</sub> eluiert und zu pH 4.8 gebracht.
- Nr. 9. Fermentlösung Nr. 6 wurde bei pH 2.4 an Tonerde B adsorbiert, Restlösung daraus 2 Tage bei pH 2.4 bei Zimmertemperatur stehen gelassen, neutralisiert, dialysiert, konzentriert und vom entstandenen Niederschlag abfiltriert.

## Hemmungstyp (siehe das Kapitel II):

E..... Emulsin-typ; T..... Taka-typ.

Nr. der Fermentlösung	Hemmungstyp	Phenol	$\beta$ -Galaktosid von										$\beta$ -Glucosid von Phenol	$\beta$ -Nitro-phenol	
			o-Kresol	p-Kresol	m-Kresol	Guajakol	Salicylaldehyd	Methylsalicylat	p-Oxyacetophenon	Vanillin	Isoeugenol	1,3,5-Xylenol			
1	E+T	1	1.39	1.07	1.17	0.59	2.43	0.89	2.45	3.30	0.67	1.04	5.30	4.90	13.9
2	E+T	1	1.23	1.23	1.23	0.79	2.27	0.93	1.52	3.11	0.54	1.16	3.37	15.0	22.5
3	E+T	1	0.98	0.92	1.05	0.55	1.89	0.77	2.10	3.10	0.48	1.08	4.03	22.8	21.9
4	T	1	1.10	1.00	0.97	0.54	0.67	0.60	0.88	0.87	0.32	0.74	1.03	—	0.13
5	—	1	1.17	1.13	0.85	0.57	0.45	0.64	0.86	0.86	0.40	0.73	1.09	—	—
6	E+T	1	1.30	0.97	1.32	0.82	3.20	0.92	4.20	6.50	0.58	0.90	6.17	22.0	28.8
7	—	1	1.10	—	—	—	—	—	—	—	—	—	2.46	2.24	8.58
8	E	1	1.12	0.80	0.92	0.69	4.60	0.71	4.30	5.20	0.73	0.81	7.50	—	36.2
9	T	1	1.02	1.00	0.99	0.63	0.84	0.70	0.97	1.09	0.48	0.86	1.10	7.83	7.24

Daraus ist zu ersehen, dass die in Schneckenhepatopankreas enthaltene  $\beta$ -Galaktosidase ein Gemisch der Enzyme von Emulsin- und Taka-typ darstellt, das sich durch geeignetes Verfahren in einzelne komponente von je bestimmtem Hemmungsverhalten trennen lässt. Solche dualistische Natur der Schnecken- $\beta$ -galaktosidase kann man auch in ihrer pH-Abhängigkeit erkennen. Wie aus Abbildung 1 ersichtlich, weist die Aktivitäts-pH-Kurve der

Ausgangsfermentlösung zweigipfligen Verlauf auf, was man als Beweis dafür betrachten darf, dass darin ein Gemisch zweier Enzyme mit verschiedenen pH-Optima vorliegt. Die Spaltung des p-Nitrophenol- $\beta$ -galaktosids durch Fermentfraktion Nr. 4 wurde durch Verbindungen der Galaktosereihe spezifisch gehemmt, während Glucose, Gluconsäure sowie  $\beta$ -Glucosid gar keinen Einfluss darauf austüben.

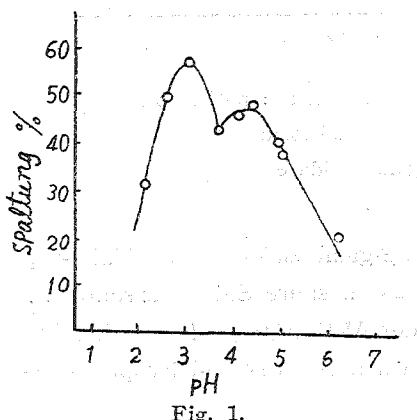


Fig. 1.

Aktivitäts-pH-Kurve der Fermentlösung Nr. 1. Substrat : p-Nitrophenol- $\beta$ -galaktosid.

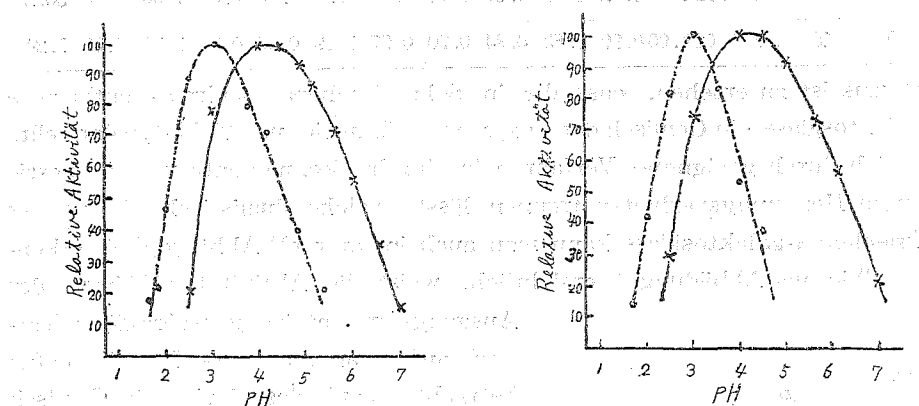
Zieht man das Hemmungsverhalten in Betracht, so scheinen diese Fermentfraktionen nur die  $\beta$ -Galaktosidase von Taka-typ zu enthalten und die Beimengung

des Enzyms von Emulsin-typ ist keineswegs wahrzunehmen. Hingegen weicht das Aktivitätsverhältnis in der Spaltung einiger  $\beta$ -Galaktoside durch dieser Fermentfraktionen von demjenigen der Takadiastase ab, wie folgende Zusammenstellung ergibt.

Enzym	Substrat: $\beta$ -Galaktosid von			
	m-Kresol	Methylsalicylat	Isoeugenol	1, 3, 5-Xylenol
Fракция Nr. 5	0.85	0.64	0.40	0.73
Takadiastase	1.39	0.17	0.74	1.45

(Aktivität gegen Phenol- $\beta$ -galaktosid als 1 gesetzt.)

Diese Ergebnisse lassen uns notwendigerweise annehmen, dass die  $\beta$ -Galaktosidase des Schneckenhepatopankreas, die das Hemmungsverhalten von Taka-typ erweist, von derjenigen der Takadiastase verschieden sei. Weiterhin tritt die Verschiedenheit auch in der pH-Abhängigkeit dieser beiden Enzyme deutlich hervor, wie Abbildung 2 zeigt.



(a). Substrat : Phenol- $\beta$ -galaktosid (b). Substrat : p-Nitrophenol- $\beta$ -galaktosid  
 Aktivitäts-pH-Kurven der Schnecken- $\beta$ -galaktosidase (.....)  
 und  $\beta$ -Galaktosidase der Takadiastase (—).

Also ist das pH-Optimum der Schnecken- $\beta$ -galaktosidase von Taka-typ gegenüber dem der Takadiastase etwa pH 1.25 an saure Seite verschoben. Hierzu ist noch zu bemerken, dass die Form der Aktivitäts-pH-Kurve dieselbe bleibt, falls man als Substrat entweder Phenol- oder p-Nitrophenol- $\beta$ -galaktosid anwendet.

Vergleicht man das Aktivitätsverhältnis der Enzymfraktion Nr. 8, die das Hemmungsverhalten des Emulsin-typs obgleich es nicht vollkommen aufweist, mit dem der  $\beta$ -Galaktosidase von Aprikose-emulsin, so ergibt sich

auch ein ausgeprägter Unterschied, wie folgt.

Enzym	Substrat: $\beta$ -Galaktosid von				
	$\alpha$ -Kresol	m-Kresol	p-Oxyaceto-phenon	Isoeugenol	1,3,5-Xylenol
Fraktion Nr. 8	1.12	0.92	4.30	0.73	0.81
Aprikose-emulsin	16.0	3.61	2.21	0.39	6.73

(Aktivität gegen Phenol- $\beta$ -galaktosid als 1 gesetzt.)

Daher erscheint es mir nicht berechtigt, diese beiden Fermente miteinander als identisch zu betrachten, wenn auch das Verhalten gegenüber den Hemmungskörpern gleichartig ist.

Der Verlauf der Aktivitäts-pH-Kurve beider  $\beta$ -Galaktosidasen ist im grossen und ganzen derselbe, wie aus Abbildung 3 ersichtlich.

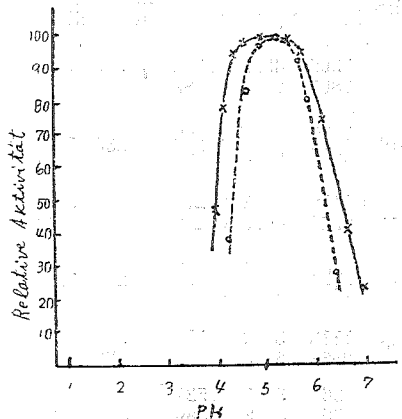


Fig. 3

Aktivitäts-pH-Kurve der  $\beta$ -Galaktosidase von Aprikose-emulsin (—) und Schnecken-ferment des Emulsin-typs (.....). Substrat:

wurde mit Wahr-scheinlichkeit annehmen kann, dass derjenige Anteil im Molekül jeder Schnecken- $\beta$ -galaktosidase, der für das Hemmungsverhalten verantwortlich ist, gleich oder

wenigstens ähnlich gebaut sein sollte mit dem entsprechenden Molekülanteil von

Aprikose-emulsin bzw. Takadiastase.

Bei der das Hemmungsverhalten von

Taka-typ aufzeigende  $\beta$ -Galaktosidase der Schnecke, sind sowohl das Aktivitätsverhältnis gegenüber verschiedenen  $\beta$ -Galaktosiden als auch die Aktivitäts-pH-Kurve, von den entsprechenden Eigenschaften der  $\beta$ -Galaktosidase der Takadiastase verschieden. Demnach können diejenigen Anteile im Bau der Enzymmolekül, die diese Eigenschaften bedingen, bei beiden  $\beta$ -Galaktosidasen miteinander nicht identisch sein.

Der Unterschied in dem Aktivitätsverhältnis zwischen der  $\beta$ -Galaktosidase des Aprikose-emulsins und der Schnecken-ferment des Emulsin-typs, lässt uns auch annehmen, dass diejenige Struktur im Enzymmolekül, die das Aktivitätsverhältnis bestimmt, bei beiden  $\beta$ -Galaktosidasen voneinander



Tabelle 4.  
Versuch mit dem Fermentpräparat  
Nr. 3.

Substrat: $\beta$ -Galakt- osid von	t Min.	Spal- tung %	$10^3 \cdot k$	Mittel	Verh- ältnis
Phenol	2713 5370	29.7 57.9	0.0564 0.0682	0.0623	1
o-Kresol	3965 5450	42.6 53.7	0.0607 0.0614	0.0611	0.98
p-Kresol	2505 5370	26.7 56.7	0.0539 0.0607	0.0573	0.92
m-Kresol	2560 5370	32.7 54.0	0.0677 0.0628	0.0652	1.05
Guajakol	2505 8425	15.9 52.0	0.0300 0.0378	0.0339	0.55
Salicyl- aldehyd	1120 2560	25.8 50.4	0.116 0.119	0.118	1.89
Methyl- salicylat	2713 5370	23.1 48.8	0.0421 0.0541	0.0481	0.77
p-Oxyace- tophenon	1120 2560	32.3 50.7	0.151 0.120	0.131	2.10
Vanillin	1120 2560	46.2 57.5	0.240 0.145	0.193	3.10
Iso- eugenol	2560 4720	17.7 25.5	0.0330 0.0271	0.0301	0.48
1,3,5- Xlenol	2505 5370	28.5 61.4	0.0581 0.0770	0.0675	1.08
p-Nitro- phenol	268 1070 3105	22.1 40.5 62.7	0.405 0.211 0.138	0.251	4.03
$\beta$ -Glucos- id von Phenol	125 262	25.5 58.4	1.02 1.45	1.42	22.8
p-Nitro- phenol	142 260	33.0 58.4	1.22 1.46	1.34	21.9

Tabelle 5.  
Versuch mit dem Fermentpräparat  
Nr. 4.

Substrat: $\beta$ -Galakt- osid von	t Min.	Spal- tung %	$10^3 \cdot k$	Mit- tel	Verh- ältnis
Phenol	1100 1555	63.0 72.6	0.393 0.362	0.377	1

o-Kresol	400 1425	33.0 72.6	0.439 0.395	0.417	1.1
p-Kresol	1100 1555	62.7 72.6	0.389 0.362	0.376	1.0
m-Kresol	400 1425	28.8 69.5	0.369 0.362	0.365	0.97
Guajakol	400 1050	17.1 38.4	0.204 0.201	0.203	0.54
Salicyl- aldehyd	400 1425	24.6 47.6	0.307 0.196	0.251	0.67
Methyl- salicylat	400 1530	20.1 51.7	0.244 0.207	0.226	0.60
p-Oxyace- tophenon	400 1425	25.5 65.3	0.340 0.322	0.331	0.88
Vanillin	300 1050	23.5 43.0	0.342 0.312	0.327	0.87
Iso- eugenol	400 4420	9.7 74.2	0.111 0.133	0.122	0.32
1,3,5- Xlenol	400 1530	24.6 59.9	0.37	0.280	0.74
p-Nitro- phenol	1100 1555	64.0 73.5	0.403 0.370	0.387	1.03
$\beta$ -Glucos- id von p- Nitro- phenol	1100 2580	12.9 24.1	0.0545 0.0464	0.0505	0.13

Tabelle 6.  
Versuch mit dem Fermentpräparat  
Nr. 5.

Substrat: $\beta$ -Galakt- osid von	t Min.	Spal- tung %	$10^3 \cdot k$	Mit- tel	Verh- ältnis
Phenol	1380 1737	56.1 64.0	0.251 0.255	0.253	1
o-Kresol	1377 1741	59.6 69.0	0.293 0.298	0.295	1.17
p-Kresol	1377 1741	58.4 68.5	0.276 0.290	0.286	1.13
m-Kresol	1377 1741	48.0 50.6	0.206 0.226	0.216	0.85
Guajakol	1545 1748 2825	41.3 43.2 61.1	0.150 0.141 0.145	0.144	0.57
Salicyl- aldehyd	1487 2825	32.3 53.0	0.114 0.116	0.115	0.45





Tabelle 13.

Versuch mit dem Fermentpräparat  
Nr. 3.

Hemmungs- körper	Spaltung % nach	
	400 Min.	1080 Min.
Ohne	32	50
o-Kresol- $\beta$ -d- glucosid	20	30
o-Kresol- $\beta$ -d- glucosid	20	30
Galaktose	27	50
Glucose	32	50
Ca-galaktonat	15	20
Ca-gluconat	13	20

Tabelle 14.

Versuch mit dem Fermentpräparat  
Nr. 4.

Hemmungs- körper	Spaltung % nach	
	315 Min.	1770 Min.
Ohne	30	60
o-Kresol- $\beta$ -d- galaktosid	2	15
o-Kresol- $\beta$ -d- glucosid	30	60
Galaktose	5	15
Glucose	30	60
Ca-galaktonat	2	10
Ca-gluconat	30	60

Tabelle 15.

Versuch mit dem Fermentpräparat  
Nr. 6.

Hemmungs- körper	Spaltung % nach	
	215 Min.	1440 Min.
Ohne	32	60
o-Kresol- $\beta$ -d- galaktosid	20	46

o-Kresol- $\beta$ -d- glucosid	15	40
Galaktose	30	60
Glucose	30	60
Ca-galaktonat	15	38
Ca-gluconat	6	15

Tabelle 16.

Versuch mit dem Fermentpräparat  
Nr. 8.

Hemmungs- körper	Spaltung % nach	
	1320 Min.	2775 Min.
Ohne	40	55
o-Kresol- $\beta$ -d- galaktosid	25	50
o-Kresol- $\beta$ -d- glucosid	25	50
Galaktose	40	55
Glucose	40	55
Ca-galaktonat	35	50
Ca-gluconat	15	30

Tabelle 17.

Versuch mit dem Fermentpräparat  
Nr. 9.

Hemmungs- körper	Spaltung % nach	
	295 Min.	1545 Min.
Ohne	23	50
o-Kresol- $\beta$ -d- galaktosid	2	15
o-Kresol- $\beta$ -d- glucosid	23	50
Galaktose	2	15
Glucose	23	50
Ca-galaktonat	3	15
Ca-gluconat	20	50

C: Bestimmungen der optimalen  
Wasserstoffzahl von Ferment-

fraktionen Nr. 1, 4, 8, Takadiastase und Aprikose-emulsin.

Tabelle 18.

Versuch mit dem Fermentpräparat  
Nr. 1. Substrat: p-Nitrophenol- $\beta$ -d-galaktosid.

pH	Spaltung % nach 150 Min.
2.2	31.7
2.5	50.0
3.0	57.0
3.7	42.6
4.0	46.2
4.2	48.0
4.8	41.8
5.0	38.8
6.2	21.3

Tabelle 19.

Versuch mit Takadiastase. 4% Lösung, dialysiert. Substrat:  
Phenol- $\beta$ -d-galaktosid.

pH	Spaltung % nach 30 Min.	Relative Aktivität
2.0	0	0
2.5	8.0	20.4
3.0	30.3	76.9
3.4	36.9	93.7
3.6	37.4	94.9
4.0	39.4	100
4.4	39.4	100
4.8	36.9	93.7
5.2	34.1	86.6
5.6	28.5	72.3

6.0	22.8	57.9
6.6	14.1	35.8
7.0	6.2	15.7

Tabelle 20.

Versuch mit Takadiastase. 4% Lösung, dialysiert. Substrat:  
p-Nitrophenol- $\beta$ -d-galaktosid.

pH	Spaltung % nach 27 Min.	Relative Aktivität
2.5	12.6	30.1
3.0	31.1	74.2
3.5	38.1	91.1
4.0	41.8	100
4.5	41.5	99.3
5.0	38.4	91.9
5.6	30.0	71.8
6.2	23.5	56.2
7.0	9.7	23.2

Tabelle 21.

Versuch mit dem Fermentpräparat  
Nr. 4. Substrat: Phenol- $\beta$ -d-galaktosid.

pH	Spaltung % nach 1440 Min.	Relative Aktivität
1.7	14.5	18.1
1.8	17.4	21.8
2.0	36.3	45.4
2.5	71.1	88.9
3.0	80.0	100
3.8	63.7	79.6
4.2	58.7	73.4
4.8	32.0	40.0
5.4	19.5	21.9

Tabelle 22.

Versuch mit dem Fermentpräparat  
Nr. 4. Substrat: p-Nitrophenol-  
 $\beta$ -d-galaktosid.

pH	Spaltung% nach 1005 Min.	Relative Aktivität
1.7	8.8	14.4
2.0	24.9	40.8
2.5	48.8	80.0
3.0	61.1	100
3.5	50.4	82.5
4.0	32.0	52.4
4.5	22.5	36.8
5.7	0	0

Tabelle 23.

Versuch mit dem Fermentpräparat  
Nr. 8. Substrat: p-Nitrophenol-  
 $\beta$ -d-galaktosid.

pH	Spaltung% nach 1470 Min.	Relative Aktivität
3.4	0	0
4.2	13.6	36.6
4.7	30.3	81.4
5.0	35.7	96.0

## V. Affinität der $\beta$ -Galaktosidasen verschiedener Herkunft zu einigen $\beta$ -d-Galaktosiden mit verschiedenen Aglykonen.

Wie in der ersten Arbeit<sup>15)</sup> dieser Untersuchungsreihe und im ersten Kapitel dieser Mitteilungen wiederholt erwähnt, schwankt das Aktivitätsverhältnis der  $\beta$ -Galaktosidasepräparate gegenüber  $\beta$ -Galektosiden mit verschiedenen Aglykonen mehr oder weniger nach Herkunft der Fermentpräparate. Solche Tatsache kann man auch einfach mit der Annahme erklären, dass jedes Fermentpräparat mehrere  $\beta$ -Galaktosidasen von verschiedenem

5.3	37.2	100
5.7	34.1	91.7
5.9	29.7	80.0
6.4	9.7	26.1

Tabelle 24.

Versuch mit Aprikose-emulsin.  
Aus dem Acetonpräparat mit 0.05-n NH<sub>3</sub> extrahierte Lösung, neutralisiert und dialysiert. Substrat: p-Nitrophenol- $\beta$ -d-galaktosid.

pH	Spaltung% nach 115 Min.	Relative Aktivität
3.5	0	0
4.0	22.1	48.3
4.2	35.7	78.0
4.4	42.9	93.7
4.7	44.6	97.4
5.0	45.8	100
5.5	45.2	98.7
5.8	43.5	95.0
6.2	33.8	73.8
6.6	18.3	40.0
7.0	10.6	23.1

Aktivitätsverhältnis in wechselndem Mengenverhältnis enthält. Tatsächlich findet man diesen Sachverhalt an den  $\beta$ -Galaktosidasen tierischer Herkunft<sup>16)</sup> (Tabelle 1 im Kapitel IV) sowie auch an den  $\beta$ -Glucosidasen einiger pflanzlichen Fermentpräparaten (Tabelle 2 im Kapitel III). Bei solchen Fällen kann das Fermentgemisch durch geeignetes Fraktionierungsverfahren zu einheitlichem Enzym getrennt werden. Aber bei den meisten anderen Fällen kann die  $\beta$ -Galaktosidase jeder bestimmter Herkunft als einheitlich aufgefasst werden, und zwar deshalb, weil das Aktivitätsverhältnis durch Fraktionierung der Fermentpräparate fast unverändert bleibt. Dernach sollte die Mannigfaltigkeit im Aktivitätsverhältnis, die die Fermentpräparate je nach ihrer Herkunft aufweisen, anders gedeutet werden, als dass jedes Präparat mehr als zwei Galaktosidasen mit eigenem, charakteristischem Aktivitätsverhältnis in wechselndem Mengenverhältnis enthält.

Schon früher haben R. Willstätter und R. Kuhn<sup>20)</sup> als Folge der Untersuchungen über Saccharase, Maltase und  $\beta$ -Glucosidase eine Theorie zur Erklärung der relativen Spezifität aufgestellt, wonach die Mannigfaltigkeit im Aktivitätsverhältnis jedes Fermentpräparates so zu verstehen ist, dass die Affinität des Enzyms zu Substrat, von Präparat zu Präparat wechselt, trotzdem das Wesen der Fermente, unabhängig von ihrer Herkunft, dasselbe ist. Diesem Gedanke liegt die Beobachtung zugrunde, dass das Aktivitätsverhältnis unter denjenigen Bedingungen der Reaktion, wo die Substratkonzentration genügend gross ist um alles vorhandenes Ferment zu binden, unabhängig von der Herkunft des Präparates konstant bleibt. Das Aktivitätsverhältnis unter diesen Reaktionsbedingungen ( $Q_{\infty}$ ) stellt somit das der Zerfallsgeschwindigkeit der Enzym-Substrat-Verbindung dar. Hierbei soll darauf aufmerksam gemacht werden, dass die Fermentpräparate, die die genannten Autoren angewendet hatten, miteinander sehr nahe verwandt waren. So stammten z.B. alle ihrer Maltasepräparate den Hefearten und alle  $\beta$ -Glucosidasepräparate dem Samenkern von der Gattung, *Prunus*, indem nur die Rassen bzw. die Arten voneinander verschieden waren. Es wäre möglich, dass die Theorie nur bei den nahe verwandten Fermentpräparaten ihre Gültigkeit finden, jedoch erscheint es mir noch weiterer Prüfung zu bedürfen, ob sich die Theorie auch auf Enzympräparate weit verschiedenen Ursprungs ohne weiteres übertragen lassen darf.

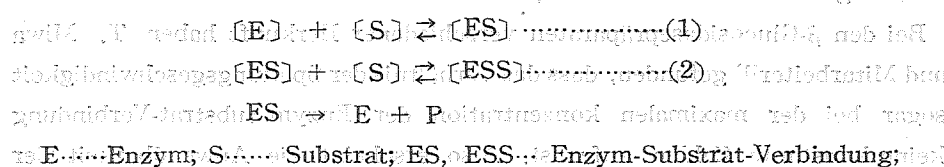
Bei den  $\beta$ -Glucosidasepräparaten verschiedener Herkunft haben T. Miwa und Mitarbeiter<sup>11)</sup> gefunden, dass das Verhältnis der Spaltungsgeschwindigkeit sogar bei der maximalen Konzentration der Enzym-Substrat-Verbindung keine konstante Zahlen aufweist. Also erscheint die Anwendbarkeit der

Willstätter-Kuhnschen Theorie nur auf  $\beta$ -Glucosidasen sehr nahe verwandter Herkunft beschränkt zu sein. Bei der vorliegenden Arbeit wurde versucht, klarzulegen, ob das mannigfaltige Aktivitätsverhältnis in der Wirkung von  $\beta$ -Galaktosidasepräparaten verschiedener Herkunft wirklich nur auf die von Präparat zu Präparat wechselnde Affinität beruht, oder ob es mehrere, je nach Herkunft, eigene, in ihrer Struktur wechselnde  $\beta$ -Galaktosidasen gibt.

Zu diesem Zwecke wurden die Affinität einiger  $\beta$ -Galaktosidasepräparate zu verschiedenen phenolischen  $\beta$ -Galaktosiden sowie auch das Verhältnis der Wirkung bei der maximalen Konzentration der Enzym-Substrat-Verbindung bestimmt. Die beiden Werten wurden gewöhnlicherweise nach der Methode von Michaelis und Menten<sup>13)</sup> graphisch ermittelt. Dabei ergaben sich bei

einigen Fermentpräparaten merkwürdige Erscheinungen. Nämlich bei der  $\beta$ -Galaktosidase von Takadiastase; *Aspergillus niger* und einer Enzymfraktion von Schneckenhepatopankreas, die dasselbe Hemmungsverhalten wie Takadiastase aufweist, nimmt die Reaktionsgeschwindigkeit mit Zunahme der Substratkonzentration zu, und erst ab einem Substratconcentration anfangs zu, dann jedoch, Aktivitäts-pS-Kurve der  $\beta$ -Galaktosidase von Takadiastase. Substrat: nachdem sie ein Maximum erreicht hat, Phenol- $\beta$ -d-galaktosid rasch ab. Also stellt die Aktivitäts-pS-Kurve dabei einen glockenförmigen Verlauf dar (Fig. 1.)

Derartige Erscheinungen sind schon bei den  $\beta$ -Glucosidasen von Takadiastase, *Aspergillus niger* u. a. beobachtet<sup>14)</sup> und nach der Anschauung von J. B. S. Haldane<sup>15)</sup> folgendermassen gedeutet worden: Je ein Molekül von Enzym verbindet sich mit einem Substratmolekül und die gebildete Enzym-Substrat-Verbindung zerfällt dann zu Hydrolyseprodukt. Aber mit der Erhöhung der Substratkonzentration addiert sich noch ein weiterer Substratmolekül an diese Verbindung, wobei sich die gebildete neue Verbindung nicht zu Hydrolyseprodukt führt. Die Folge davon ist die Herabsetzung der Hydrolysegeschwindigkeit. Diese Verhältnisse lassen sich folgendermassen schematisch veranschaulichen:



P....Hydrolyseprodukt;  $[i]$  bedeutet Konzentration des Substrats im Reaktionsraum. Daraus habe ich die Dissoziationskonstante der Gleichung 1 und 2,  $KM_1$  und  $KM_2$ , nach der Methode von Miwa\* graphisch bestimmt und in Affinitätskonstante,  $KM_1$  und  $KM_2$ , (Reziproke der Dissoziationskonstante) umgerechnet.

Folgende Tabellen (1 - 6) enthalten die Aktivitätsverhältnis bei Substratkonzentration von 0,012 Mol ( $Q_{0,012}$ ) und bei der maximalen Konzentration der Enzym-Substrat-Verbindung ( $Q_\infty$ ) sowie die Affinitätskonstanten ( $KM$  bzw.  $KM_1$  und  $KM_2$ ).

Bei Aprikose-emulsin wurden, unter Berücksichtigung der Frage, ob die Begleitstoffe auf die Affinität zwischen Enzym und Substrat Einfluss ausüben könnten, zwei Fermentpräparate von verschiedenem Reinheitsgrad herangezogen. Tabelle 1 zeigt die Resultate.

Tabelle 1 (Aprikose-emulsin). Affinität und Zerfallsgeschwindigkeit von  $\beta$ -Galaktosid von

Wertigkeit des Enzymprä- parates und Reinheitsgrad	fPh- $\beta$ -gal.	Zerfallsgeschwindigkeit von $\beta$ -Galaktosid von						Vanill- in
		Phenol	O- Kresol	p- Kresol	p-Nitro- Phenol	p-Oxy- acetophenon	Guaja- kol	
0.012	Q <sub>0,012</sub>	1	12.7	0.52	47.6	4.5	2.63	31.2
	Q <sub>&amp;infty</sub>	1	22	0.31	161	5.8	4.32	447
	KM	29	16	50	6	25	12.7	8.5
0.017	Q <sub>0,012</sub>	1	15.0	0.63	43.7	5.0	3.0	31.2
	Q <sub>&amp;infty</sub>	1	23.7	0.49	17.7	4.0	2.5	447
	KM	29.5	16	46	6	25	12.7	8.5
0.53	Q <sub>0,012</sub>	1	15.0	0.63	43.7	5.0	3.0	31.2
	Q <sub>&amp;infty</sub>	1	23.7	0.49	17.7	4.0	2.5	447
	KM	29.5	16	46	6	25	12.7	8.5

Daraus geht klar hervor, dass die Reaktionsgeschwindigkeit bei Substratkonzentration von 0,012 Mol kaum durch die Affinität zwischen Enzym und Substrat, sondern durch Zerfallsgeschwindigkeit der Enzym-Substrat-Verbindung bedingt wird. Dabei erscheint es uns auch bemerkenswert dass die Affinität und Zerfallsgeschwindigkeit der geprüften Substrate etwa in umgekehrtem Verhältnis stehen. Nämlich erweist sich die Affinität zu Vanillin- und p-Nitrophenol- $\beta$ -galaktosid als weit kleiner als zu p-Kresol- und Phenol- $\beta$ -galaktosid. Ferner ist zu erkennen dass die Affinität und die Zerfallsgeschwindigkeit ganz unabhängig von dem Reinheitsgrad der angewendeten Fermentpräparate ist, was mit Sicherheit hinweist, dass die Begleitstoffe darauf keinen wesentlichen Einfluss ausüben.

Die  $\beta$ -Galaktosidase der Samen von *Cycas revoluta*, deren Versuchsres-

(\*) Unveröffentlicht. Veb möglichst zum Nachdruck verboten.

ultate in Tabelle 2 zusammengestellt sind, ist insofern eigenartig als sie, unter den bis jetzt untersuchten  $\beta$ -Galaktosidasen, im ihrem Aktivitätsverhältnis derjenigen des *Prunus*-emulsins äußerst nahe steht (Tabelle 1 im Kapitel I). Um klarzulegen, worauf solche Gleichartigkeit beruht, wurden die Affinität und die Zerfallsgeschwindigkeit, zum Vergleich mit Aprikose-emulsin, ermittelt.

Tabelle 2 (Enzym von *Cycas revoluta*).

	$\beta$ -Galaktosid von		
	Phenol	o-Kresol	p-Kresol
Q <sub>0.012</sub>	1	10.6	0.75
Q <sub>∞</sub>	1	22	0.61
KM	34	18	46.7

Daraus ist ersichtlich, dass sowohl die Affinität zu drei Substraten wie auch das Verhältnis der Zerfallsgeschwindigkeit mit den entsprechenden Werten des Aprikose-emulsins gut übereinstimmen. Dies, mit der weitgehenden Ähnlichkeit im Aktivitätsverhältnis zu den umfangreichen Substratetriehen, deutet darauf hin, dass es zwischen den  $\beta$ -Galaktosidasen von *Prunus* und *Cycas* eine wesentliche Gleichartigkeit im Enzymsbau besteht.

Wie im vorangehenden Kapitel dieser Mitteilungen angegeben, enthält das Hepatopankreas einer Schnecke, *Eulota peliomphala*, zwei Arten der  $\beta$ -Galaktosidase, die durch geeignetes Verfahren voneinander getrennt werden können. In ihrem Verhalten gegenüber einigen Hemmungskörpern steht die eine mit der  $\beta$ -Galaktosidase des Aprikose-emulsins und die andere mit der der Takadiastase in Übereinstimmung. In Tabelle 3 zeigen sich die Versuchsergebnisse mit der Enzymfraktion, die das Hemmungsverhalten von Emulsin-typ aufweist.

Tabelle 3 (Enzym von Schneckenhepatopankreas, Emulsin-typ).

	$\beta$ -Galaktosid von						
	Phenol *	o-Kresol	p-Kresol	p-Nitro- <sup>*</sup> P-oxyacetophenon	Guajakol	Vanillin *	
Q <sub>0.012</sub>	1	0.89	0.82	5.97	2.30	0.75	3.32
Q <sub>∞</sub>	1	0.90	0.63	30	2.80	0.65	27
KM <sub>1</sub>	132	112	422	9.6	38	282	8.7
KM <sub>2</sub>	—	11	1.3	—	24	8.9	—

\* Aktivitäts-pS-Kurve ist normal, mithin fehlt KM<sub>2</sub>.

Diese Resultate, verglichen mit denjenigen der Tabelle 1, lassen uns

erkennen dass zwischen dieser Fermentfraktion und Aprikose-emulsin ein deutlicher Unterschied in der Affinität zu Phenol-, o-Kresol-, p-Kresol- und Guajakol- $\beta$ -galaktosid besteht, während diejenige zu p-Nitrophenol-, p-Oxyacetophenon- und Vanillin- $\beta$ -galaktosid in beiden Fermentpräparaten etwa gleich gross ist. Immerhin kann man jedoch derart nahe Verwandschaft, wie sie zwischen *Prunus*- und *Cycas*-enzym vorhanden ist, hierbei nicht wahrnehmen. Auch bezüglich des Verhältnisses der Zerfallsgeschwindigkeit besteht dazwischen eine nicht geringe Differenz, wenigstens in bezug auf o-Kresol- und Guajakol- $\beta$ -galaktosid. Alle dieser Resultaten bestätigen wiederholt die Ansicht des vorangehenden Kapitels, dass die  $\beta$ -Galaktosidase der Schnecke mit dem Hemmungsverhalten von Emulsin-typ von der des Aprikose-emulsins verschieden sei.

Die in Takadiastase enthaltene  $\beta$ -Galaktosidase ist einheitlich, die sich von Aprikose-emulsin sowohl in bezug auf Aktivitätsverhältnis wie auch Verhalten gegen Hemmungskörper scharf unterscheiden lässt (Kapitel I und II). Tabelle 4 zeigt die Versuchsergebnisse mit diesem Fermentpräparat.

Tabelle 4 (Takadiastase).

Substrat Konzentration	Zerfallsgeschwindigkeit in $\beta$ -Galaktosid von Taka- $\beta$ -galaktosid und Schneke- $\beta$ -galaktosid						
	Phenol	o-Kresol	p-Kresol	p-Nitrophenol	p-Oxyacetophenon	Guajakol	Vanillin
$Q_{0.012}$	1	0.82	0.90	0.92	1.0	0.53	0.99
$Q_{\infty}$	1	0.81	0.53	0.55	2.8	0.28	0.99
KM <sub>1</sub>	75	76	159	235	38	185	60
KM <sub>2</sub>	75	68	20	30	376	8.6	53

Daraus ersicht man dass die Affinitätskonstanten sowie das Verhältnis der Zerfallsgeschwindigkeit von den entsprechenden Werten sowohl des Aprikose-emulsins wie der meisten anderen  $\beta$ -Galaktosidasepräparate verschieden sind. Fernerhin möchte ich daraus noch einen merkwürdigen Tatbestand entnehmen, dass die Schwankung des Aktivitätsverhältnisses bei maximaler Substratkonzentration ( $Q_{\infty}$ ) etwas grösser ist als bei Substratkonzentration von 0.012 Mol ( $Q_{0.012}$ ). Daraus erhellt sich dass die Gleichmässigkeit in dem Aktivitätsverhältnis von Taka- $\beta$ -galaktosid nur eine scheinbare ist und dass es durch Kombination der Zerfallsgeschwindigkeit und der Affinität zustande kommt.

Wie oben erwähnt, enthält das Schneckenhepatopankreas zwei Arten der  $\beta$ -Galaktosidase, von denen die eine dasselbe Verhalten gegenüber Hemmungskörpern wie die  $\beta$ -Galaktosidase der Takadiastase. Versuche mit diesem Ferment ergaben folgende Resultate:

Tabelle 5 (Enzym von Schneckenhepatopankreas, Taka-typ).

	$\beta$ -Galaktosid von						
	Phenol	o-Kresol	p-Kresol	p-Nitrophenol	p-Oxyacetophenon	Guajakol	Vanillin
$Q_{0.012}$	1	1.05	1.25	1.22	0.95	0.085	0.87
$Q_{\infty}$	1	1.0	2.2	6.6	0.33	0.32	0.67
$KM_1$	23	25	11	3.6	68.4	7.5	25
$KM_2$	108	115	233	813	6.8	750	25

Vergleicht man diese Ergebnisse mit denen der Takadiastase, so erkennt man sofort einen nicht unbeträchtlichen Unterschied. Die Unstimmigkeit, die dazwischen in bezug auf Aktivitätsverhältnis bei Substratkonzentration von 0.012 Mol vorhanden ist, tritt bezüglich  $Q_{\infty}$ -Werte noch deutlicher zutage, was gegen die Theorie von Willstätter und Kuhn spricht.

Die  $\beta$ -Galaktosidase von *Aspergillus niger* steht insofern der der Takadiastase nahe, als sie gleiches Hemmungsverhalten und ähnliches Aktivitätsverhältnis gegenüber mehreren Substraten aufweist (Kapitel I und II). Es erscheint uns daher auch wünschenswert, sicher zu stellen, ob diese scheinbare Gleichartigkeit auf die wesentliche Struktur der beiden Fermente beruht oder nicht. Um einer Erklärung dieser Frage näher zu kommen, wurde die Bestimmung der Affinitätskonstante und des Aktivitätsverhältnisses der Zerfallsgeschwindigkeit ausgeführt.

Tabelle 6 (Enzym von *Aspergillus niger*).

	$\beta$ -Galaktosid von			
	Phenol	o-Kresol	p-Kresol	p-Nitrophenol
$Q_{0.012}$	1	1.18	0.88	0.70
$Q_{\infty}$	1	0.87	452	8.0
$KM_1$	22	168		
$KM_2$	219	5.3		

Wie daraus hervorgeht, ist das Verhältnis der Zerfallsgeschwindigkeit im grossen und ganzen dasselbe wie das der Takadiastase, während es bezüglich der Affinitätskonstante eine unverkennbare Diskrepanz besteht. Daher ist man ohne weiteres nicht imstande, die  $\beta$ -Galaktosidasen beider *Aspergillus*-arten als identisch zu betrachten, solange ein sicherer Beweis nicht erbracht werden könnte, dass die Affinität durch die von Enzymmolekül unabhängigen Begleitstoffe beeinflusst wird.

Die wichtigen Punkte der in Tabelle 1-6 angegebenen Resultate lassen

sich folgendermassen zusammenfassen.

1). Das Verhältnis der Zerfallsgeschwindigkeit von Enzym-Substrat-Verbindung, d. h. das Wirkungsverhältnis bei der maximalen Substratkonzentration,  $Q_{\infty}$ , schwankt je nach der Fermentprovenienz ganz unregelmässig, was mit aller Wahrscheinlichkeit darauf hindeutet, dass die unitarische Theorie von Willstätter und Kuhn, soweit es sich um  $\beta$ -Galaktosidase handelt, nicht aufrechtzuhalten ist.

2). Zwischen dem Hemmungstyp der  $\beta$ -Galaktosidase und den Werten von  $Q_{\infty}$  und  $KM$  oder  $KM_1$  und  $KM_2$ , scheint keine korrelative Beziehung zu bestehen.

3). Die Spaltungsgeschwindigkeit verschiedener Substrate bei Substratkonzentration von 0.012 Mol werden zumeist durch die Zerfallsgeschwindigkeit der Enzym-Substrat-Verbindung, nicht aber durch die Affinität zwischen Enzym und Substrat bedingt. In Allgemeinen bemerkt man sogar eine Tendenz, dass die Affinität bei denjenigen Substraten kleiner ist, die bei Substratkonzentration von 0.012 Mol mit grösserer Geschwindigkeit gespalten werden.

4). Alle dieser Befunde lassen uns genötigt anzunehmen, dass die  $\beta$ -Galaktosidasen je nach Herkunft der Fermente in ihrer Gesamtstruktur verschieden seien, nämlich sind diejenigen Anteile des Enzymmoleküls voneinander verschieden, die für die Affinität zwischen Enzym und Substrat sowie für die Zerfallsgeschwindigkeit der Enzym-Substrat-Verbindung verantwortlich zu machen sind, während die an die Spaltung der  $\beta$ -Galaktosidbindung unmittelbar beteiligenden Gruppen dieselben sind.

### Versuche.

Die Versuchs methoden folgten den Angaben der früheren Mitteilungen.

15(11)

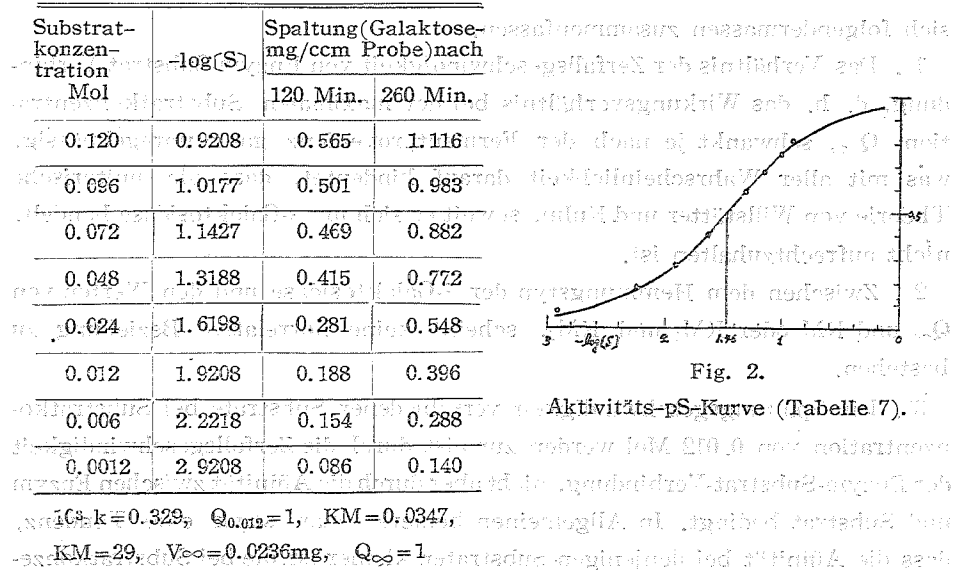
### Protokolle:

$V_{\infty}$  : abgespaltene Galaktosemenge (mg) pro Minute, pro Enzymeinheit bei maximaler Enzym-Substrat-Konzentration; es ist graphisch erhältlich.  
 $Km$  bzw.  $Km_1$ ,  $Km_2$ : Dissoziationskonstanten der Aktivitäts-pS-Kurven  $KM$ , bzw.  $KM_1$ ,  $KM_2$ : Affinitätskonstanten des Enzyms, d. i. Reziproke der Dissoziationskonstanten.  $10^3 \cdot k$ : Reaktionskonstante erster Ordnung, bei Substratkonzentration von 0.012 Mol.

A: Versucne mit dem Aprikose-emulsin (1). Wertigkeit:  $f_{ph.\beta gal.} = 0.017$ .

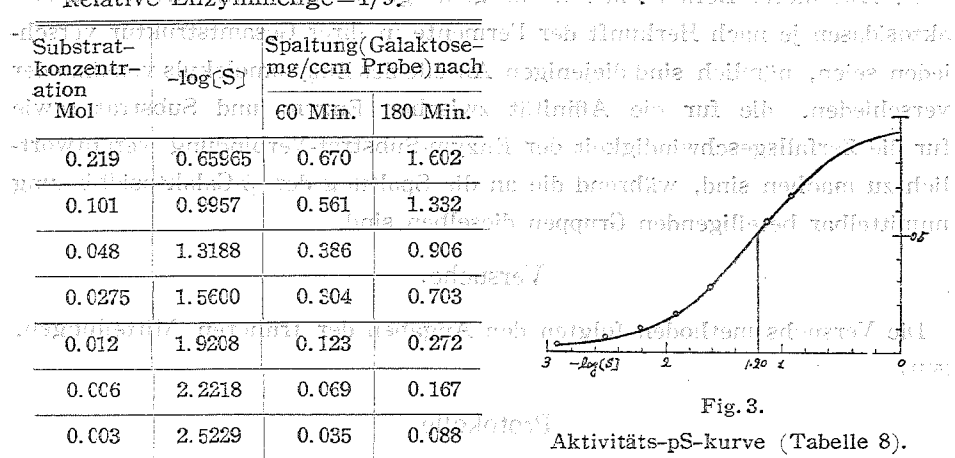
Tabelle 7.

Substrat: Phenol- $\beta$ -d-galaktosid. Relative Enzymmenge = 1.



10<sup>3</sup>k = 0.329, Q<sub>0.012</sub> = 1, KM = 0.0347, V<sub>∞</sub> = 0.0236mg, Q<sub>∞</sub> = 1

Substrat: o-Kresol-β-d-galaktosid. Relative Enzymmenge = 1/9.



10<sup>3</sup>k = 4.17, Q<sub>0.012</sub> = 12.7, Km = 0.0631, V<sub>∞</sub> = 0.52mg, Q<sub>∞</sub> = 22.0

Substrat: p-Kresol-β-d-galaktosid. Relative Enzymmenge = 1.

Substratkonzentrati on Mol	-log[S]	Spaltung (Galaktose-mg/ccm Probe) nach 157 Min.	Spaltung (Galaktose-mg/ccm Probe) nach 458 Min.	Spaltung (Galaktose-mg/ccm Probe) nach 1000 Min.
0.1506	0.82391	0.310	—	—
0.120	0.9208	0.364	0.902	1.600

0.096	1.0177	0.339	0.854	1.550
0.048	1.3188	0.250	0.695	1.300
0.024	1.6198	0.220	0.580	1.000
0.012	1.9208	0.194	0.480	0.705
0.006	2.2218	0.170	0.362	0.452
0.003	2.5229	0.138	0.260	0.290
0.0012	2.9208	0.108	0.168	0.185

$$10^3 \cdot k = 0.172, Q_{0.012} = 0.52, K_m = 0.020,$$

$$K_m = 50, V_\infty = 0.0072 \text{ mg}, Q_\infty = 0.31$$

Tabelle 10.

Substrat: p-Nitrophenol- $\beta$ -d-galaktosid.  
Relative Enzymmenge = 1/20.

Substratkonzentration Mol	-log(S)	Spaltung (Galaktose-mg/ccm Probe) nach		
		30 Min.	120 Min.	270 Min.
0.120	0.9208	0.570	1.256	1.684
0.096	1.0177	0.520	1.142	1.580
0.072	1.14267	0.400	0.926	1.410
0.048	1.3188	0.284	0.772	1.102
0.024	1.6198	0.166	0.514	0.778
0.012	1.9208	0.115	0.263	0.389
0.006	2.2218	0.065	0.191	0.298
0.003	2.5229	0.035	0.105	0.167
0.0012	2.9208	0.015	0.050	0.083

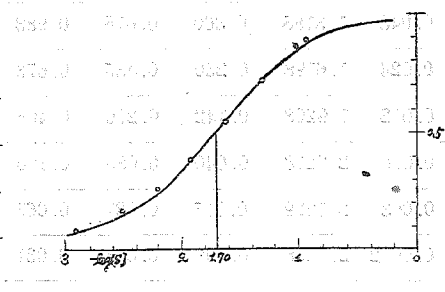
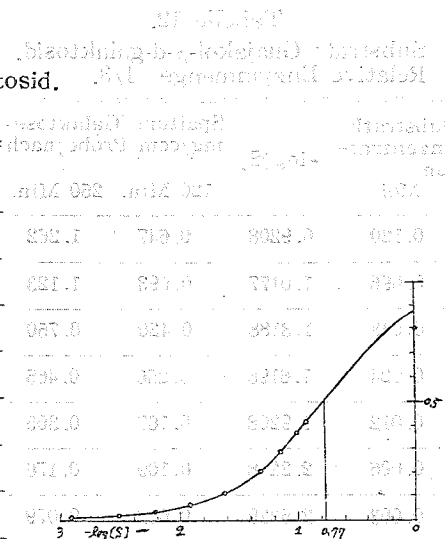
$$10^3 \cdot k = 15.66, Q_{0.012} = 47.6, K_m = 0.170,$$

$$K_m = 6.0, V_\infty = 3.792 \text{ mg}, Q_\infty = 161.$$

Tabelle 11.

Substrat: p-Oxyacetophenon- $\beta$ -d-galaktosid.  
Relative Enzymmenge = 1/3.

Substratkonzentration Mol	-log(S)	Spaltung (Galaktose-mg/ccm Probe) nach		
		60 Min.	120 Min.	240 Min.
0.07.*	1.14267	0.435	0.726	1.074

Fig. 4. (Nach Tabelle 9.)  
Aktivitäts-pS-Kurve (Tabelle 9).Fig. 5. (Nach Tabelle 10.)  
Aktivitäts-pS-Kurve (Tabelle 10).

0.048	1.3188	0.360	0.618	0.983
0.024	1.6198	0.250	0.435	0.673
0.012	1.9208	0.142	0.270	0.406
0.006	2.2218	0.040	0.080	0.170
0.003	2.5229	0.015	0.031	0.065
0.0012	2.9208	0.007	0.013	0.031

$$10^3 \cdot k = 1.482, Q_{0.012} = 4.5, K_m = 0.0399,$$

$$KM = 25, V_\infty = 0.1344 \text{ mg}, Q_\infty = 5.8$$

\*Als Suspension.

Tabelle 12.

Substrat: Guajakol- $\beta$ -d-galaktosid.

Relative Enzymmenge = 1/3.

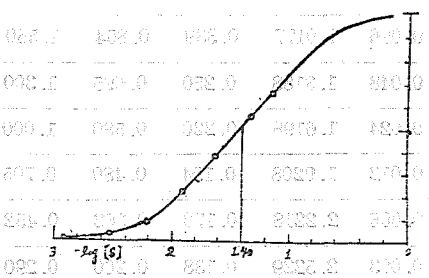


Fig. 6.

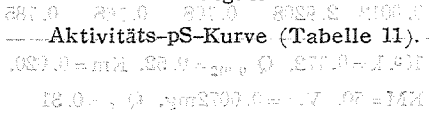


Fig. 7.

Substratkonzentration Mol	-log[S]	Spaltung(Galaktose-mg/ccm Probe) nach	
		120 Min.	250 Min.
0.120	0.9208	0.647	1.262
0.096	1.0177	0.593	1.123
0.048	1.3188	0.420	0.750
0.024	1.6198	0.250	0.465
0.012	1.9208	0.167	0.305
0.006	2.2218	0.109	0.176
0.003	2.5229	0.062	0.079
0.0012	2.9208	0.022	0.039

$$10^3 \cdot k = 0.864, Q_{0.012} = 2.63, K_m = 0.0708,$$

$$KM = 12.7, V_\infty = 0.1043 \text{ mg}, Q_\infty = 4.32.$$

Tabelle 13.

Substrat: Vanillin- $\beta$ -d-galaktosid.

Relative Enzymmenge = 1/45.

Substratkonzentration Mol	-log[S]	Spaltung (Galaktose-mg/ccm Probe) nach		
		20 Min.	60 Min.	180 Min.
0.100 *	1.000	0.550	1.142	1.812
0.072 *	1.14267	0.460	0.954	1.552
0.048	1.3188	0.315	0.660	1.142
0.024	1.6198	0.125	0.270	0.461

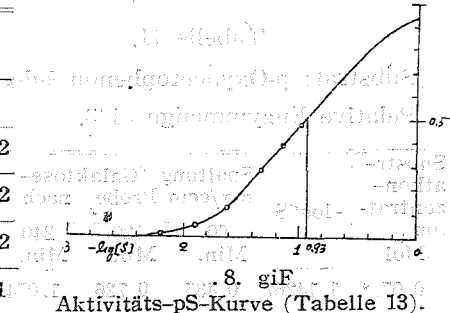


Fig. 8. Aktivitäts-pS-Kurve (Tabelle 13).

0.012	1.9208	0.050	0.067	0.117	0.013	0.021	0.100
0.006	2.2218	0.016	0.031	0.064	0.013	0.021	0.100
0.003	2.5229	0.008	0.010	0.015	0.013	0.021	0.100
0.0012	2.9208	0	0	0	0	0	0

$10^3 \cdot k = 10.26, Q_{0.012} = 31.2, K_m = 0.118,$   
 $K_m = 8.5, V_\infty = 10.539 \text{ mg}, Q_\infty = 447.$

\* Als Suspension.

B: Versuche mit dem Aprikose-emulsin (2). Wertigkeit:  $f_{Ph-\beta\text{-gal}} = 0.53.$

Tabelle 14.

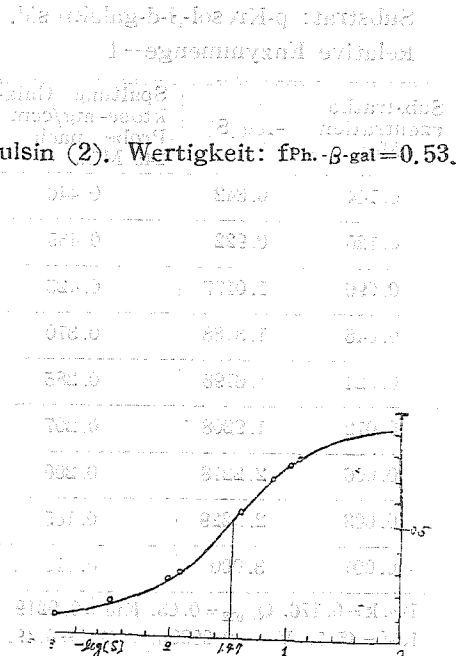
Substrat: Phenol- $\beta\text{-d-galaktosid}.$   
 Relative Enzymmenge = 1.

Substratkonzentration Mol	-log[S]	Spaltung (Galaktose-mg/ccm Probe) nach 146 Min.
0.108	0.9657	0.520
0.090	1.0458	0.500
0.072	1.1427	0.450
0.036	1.4437	0.330
0.012	1.9208	0.190
0.009	2.046	0.175
0.003	2.523	0.125
0.001	3.000	0.104

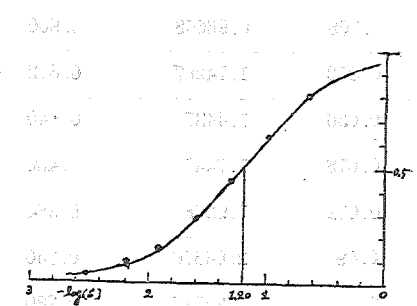
$10^3 \cdot k = 0.281, Q_{0.012} = 1, K_m = 0.0339,$   
 $K_m = 29.5, V_\infty = 0.01828 \text{ m}, g Q_\infty = 1.$

Tabelle 15.  
 Substrat: o-Kresol- $\beta\text{-d-galaktosid}.$   
 Relative Enzymmenge = 1/10.

Substratkonzentration Mol	-log[S]	Spaltung (Galaktose-mg/ccm Probe) nach 247 Min.
0.120	0.9208	1.885
0.072	1.1427	1.575
0.024	1.6198	0.709
0.012	1.9208	0.463
0.006	2.2218	0.266
0.003	2.5229	0.151



Aktivitäts-pS-Kurve (Tabelle 14).



Aktivitäts-pS-Kurve (Tabelle 15).

0.0012	2.9208	0.050	177.0	180.0	000.0	800.0	800.0
10 <sup>3</sup> . k = 4.21, Q <sub>0.012</sub> = 15.0, Km = 0.0631, KM = 16, V <sub>∞</sub> = 0.434 mg, Q <sub>∞</sub> = 23.7.			180.0	180.0	800.0	800.0	800.0

Tabelle 16

Substrat: p-Kresol-β-d-galaktosid.

Relative Enzymmenge = 1

Substratkonzentration Mol	-log(S)	Spaltung (Galaktose-mg/ccm Probe) nach 245 Min.
0.144	0.842	0.446
0.120	0.922	0.435
0.096	1.0177	0.425
0.048	1.3188	0.370
0.024	1.6198	0.285
0.012	1.9208	0.207
0.006	2.2218	0.200
0.003	2.5229	0.165
0.001	3.000	0.110

10<sup>3</sup>. k = 0.176, Q<sub>0.012</sub> = 0.63, Km = 0.0219,  
KM = 45.7, V<sub>∞</sub> = 0.0090 mg, Q<sub>∞</sub> = 0.49.C: Versuche mit dem Fermentpräparat aus *Cycas revoluta*.

Tabelle 17.

Substrat: Phenol-β-d-galaktosid.

Relative Enzymmenge = 1.

Substratkonzentration Mol	-log(S)	Spaltung (Galaktose-mg/ccm Probe) nach 895 Min.
0.108	0.96658	0.900
0.072	1.14267	0.812
0.036	1.4437	0.640
0.018	1.7447	0.430
0.012	1.9208	0.364
0.09	2.04576	0.340
0.06	2.22185	0.280
0.03	2.52287	0.203

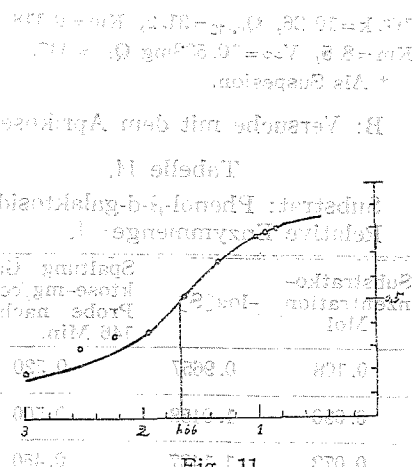


Fig. 11.

Aktivitäts-pS-Kurve (Tabelle 16).

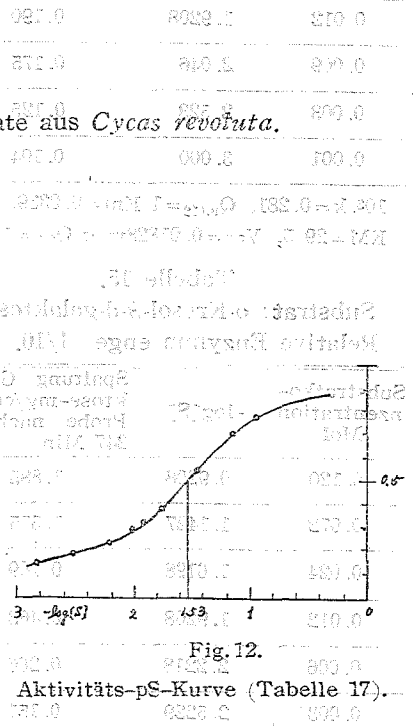


Fig. 12.

Aktivitäts-pS-Kurve (Tabelle 17).

0.15	2.82391	0.174
------	---------	-------

$10^3 \cdot k = 0.0892$ ,  $Q_{0.012} = 1$ ,  $K_m = 0.0295$ ,  
 $KM = 33.9$ ,  $V_\infty = 0.0052\text{mg}$ ,  $Q_\infty = 1$ .

Tabelle 81.  
Substrat: o-Kresol- $\beta$ -d-galaktosid.  
Relative Enzymmenge = 1.

Substratkonzentration Mol.	-log[S]	Spaltung (Galaktose-mg/ccm Probe) nach 80 Min.
0.120	0.9208	1.600
0.072	1.14267	1.326
0.048	1.3188	1.050
0.024	1.6198	0.684
0.012	1.9208	0.347
0.006	2.2218	0.194
0.003	2.5229	0.115
0.0012	2.8208	0.052

$10^3 \cdot k = 0.950$ ,  $Q_{0.012} = 10.6$ ,  $K_m = 0.055$ ,  
 $KM = 18$ ,  $V_\infty = 0.1152\text{mg}$ ,  $Q_\infty = 22$ .

Tabelle 19.  
Substrat: p-Kresol- $\beta$ -d-galaktosid.  
Relative Enzymmenge = 1.

Substratkonzentration Mol.	-log[S]	Spaltung (Galaktose-mg/ccm Probe) nach 1450 Min.
0.144	0.842	0.940
0.096	0.922	0.920
0.048	1.3188	0.777
0.024	1.6198	0.604
0.012	1.9208	0.434
0.006	2.2218	0.345
0.003	2.5229	0.230
0.0015	2.8239	0.173

$10^3 \cdot k = 0.0672$ ,  $Q_{0.012} = 0.75$ ,  $K_m = 0.0214$   
 $KM = 46.7$ ,  $V_\infty = 0.003172\text{mg}$ ,  $Q_\infty = 0.61$ .

D: Versuche mit dem Fermentpräparat von Emulsin-typ aus Schnecken-

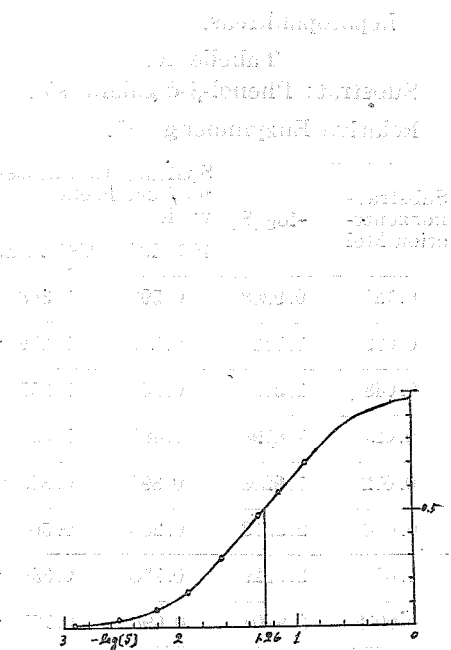


Fig. 13. Aktivitäts-pS-Kurve (Tabelle 18).

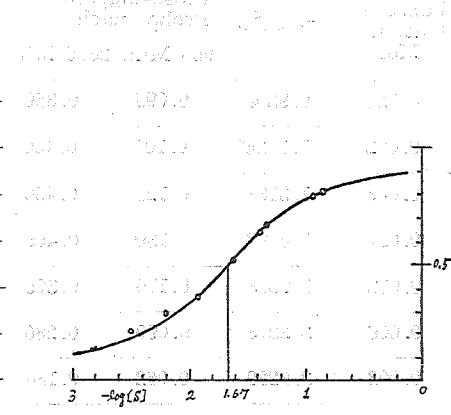


Fig. 14. Aktivitäts-pS-Kurve (Tabelle 19).

hepatopankreas.

Tabelle 20.

Substrat: Phenol- $\beta$ -d-galaktosid.

Relative Enzymmenge = 1.

Substratkonzentration Mol	-log[S]	Spaltung (Galaktose-mg/ccm Probe) nach	
		1050 Min.	2585 Min.
0.120	0.9208	0.590	1.368
0.072	1.14267	0.576	1.319
0.048	1.3188	0.544	1.255
0.024	1.6198	0.480	1.050
0.012	1.9208	0.391	0.800
0.006	2.2218	0.285	0.561
0.003	2.5229	0.178	0.336
0.0012	2.9208	0.098	0.171

$$10^3 \cdot k = 0.0828, Q_{0.012} = 1, K_m = 0.00795,$$

$$KM = 132, V_\infty = 0.00248 \text{ mg}, Q_\infty = 1.$$

Tabelle 21.

Substrat: o-Kresol- $\beta$ -d-galaktosid.

Relative Enzymmenge = 1/3.

Substratkonzentration Mol	-log[S]	Spaltung (Galaktose-mg/ccm Probe) nach	
		960 Min.	2875 Min.
0.120	0.9208	0.095	0.350
0.072	1.14267	0.105	0.400
0.048	1.3188	0.123	0.450
0.024	1.6198	0.130	0.468
0.012	1.9208	0.115	0.375
0.006	2.2218	0.090	0.280
0.003	2.5229	0.062	0.180
0.0012	2.9208	0.038	0.096

$$10^3 \cdot k = 0.0735, Q_{0.012} = 0.89, K_{m1} = 0.008913$$

$$KM_1 = 0.08913, KM_2 = 112.2, KM_3 = 11.2,$$

$$V_\infty = 0.00222 \text{ mg}, Q_\infty = 0.90$$

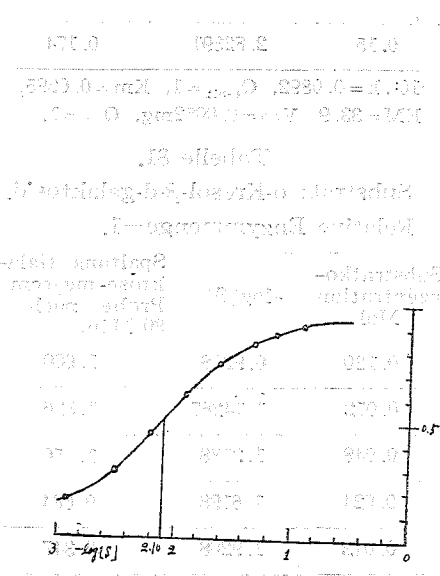


Fig. 15. Aktivitäts-pS-Kurve (Tabelle 20).

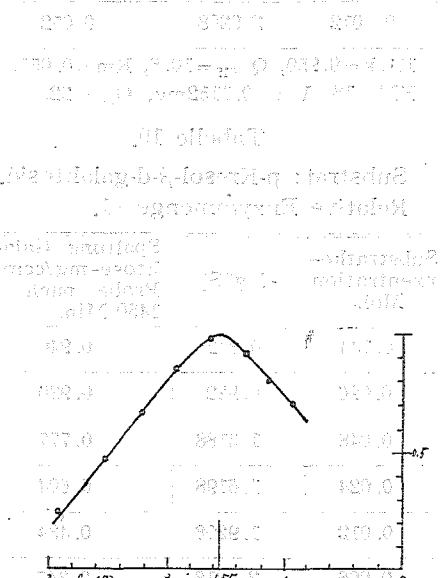


Fig. 16. Aktivitäts-pS-Kurve (Tabelle 21).

Tabelle 22.

Substrat: p-Kresol- $\beta$ -d-galaktosid.

Relative Enzymmenge = 1/2.

Substratkonzentration Mol	$-\log[S]$	Spaltung (Galaktose-mg/ccm Probe) nach 1150 Min. 2720 Min.	
0.120	0.9208	0.191	0.481
0.072	1.1427	0.204	0.501
0.048	1.3188	0.207	0.522
0.024	1.6198	0.203	0.487
0.012	1.9208	0.188	0.417
0.006	2.2218	0.165	0.338
0.003	2.5229	0.118	0.231
0.0012	2.9208	0.076	0.128

$10^3 k = 0.0676 \quad Q_{0.012} = 0.82, \quad K_m = 0.002372, \quad K_m = 0.7499, \quad K_m = 421.6, \quad K_m = 1.33, \quad V_\infty = 0.001552 \text{ mg}, \quad Q_\infty = 0.63.$

Tabelle 23.

Substrat: p-Nitrophenol- $\beta$ -d-galaktosid.

Relative Enzymmenge = 1/10.

Substratkonzentration Mol	$-\log[S]$	Spaltung (Galaktose-mg/ccm Probe) nach		
		500 Min.	970 Min.	2520 Min.
0.120	0.9208	0.510	0.784	1.102
0.072	1.1427	0.380	0.656	1.026
0.048	1.3188	0.285	0.500	0.842
0.024	1.6198	0.170	0.330	0.526
0.012	1.9208	0.120	0.220	0.376
0.006	2.2218	0.090	0.164	0.271
0.003	2.5229	0.075	0.131	0.200
0.0012	2.9208	0.05	0.073	0.120

$10^3 k = 0.494, \quad Q_{0.012} = 5.97, \quad K_m = 0.1047, \quad K_m = 9.6, \quad V_\infty = 0.0752, \quad Q_\infty = 30.3.$

Tabelle 24.

Substrat: p-Oxyacetophenon- $\beta$ -d-galaktosid.

Relative Enzymmenge = 1/5.

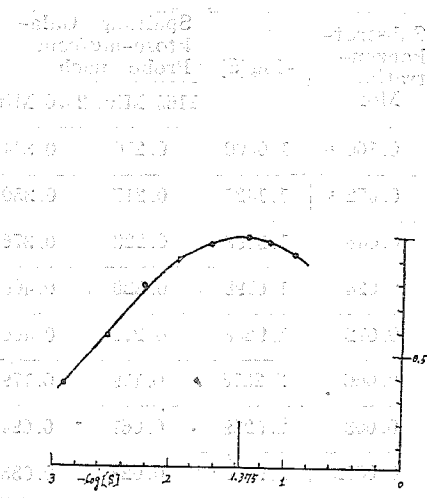


Fig. 17. Aktivitäts-pS-Kurve (Tabelle 22).

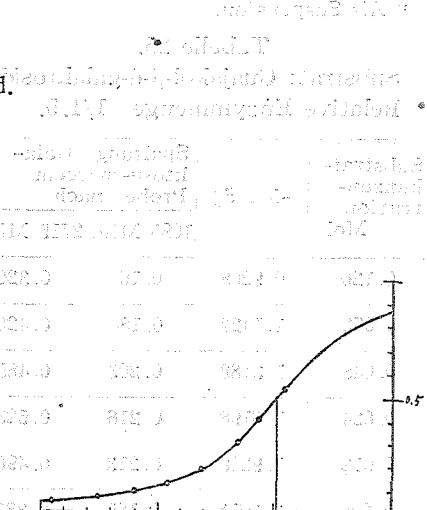


Fig. 18. Aktivitäts-pS-Kurve (Tabelle 23).

Substrat-konzen-tration Mol	-log[S]	Spaltung (Galaktose-mg/ccm Probe) nach 1165 Min.	2570 Min.
0.100 *	1.0000	0.210	0.344
0.072 *	1.1427	0.217	0.350
0.048	1.3188	0.223	0.376
0.024	1.6198	0.220	0.406
0.012	1.9208	0.210	0.406
0.006	2.2218	0.119	0.179
0.003	2.5229	0.061	0.094
0.0012	2.9208	0.028	0.033

$$10^3 \cdot k = 0.1900, Q_{0.012} = 2.30, K_m_1 = 0.02$$

$$661, K_m_2 = 0.04217, K_M_1 = 37.6, K_M_2 =$$

$$23.7, V_\infty = 0.00692 \text{ mg}, Q_\infty = 2.8.$$

\* Als Suspension.

Tabelle 25.

Substrat: Guajakol- $\beta$ -d-galaktosid.

\* Relative Enzymmenge = 1/1.5.

Substrat-konzen-tration Mol	-log[S]	Spaltung (Galaktose-mg/ccm Probe) nach 1695 Min.	2715 Min.
0.120	0.9208	0.160	0.320
0.072	1.1427	0.186	0.420
0.048	1.3188	0.203	0.485
0.024	1.6198	0.216	0.523
0.012	1.9208	0.213	0.490
0.006	2.2218	0.187	0.385
0.003	2.5229	0.141	0.255
0.0012	2.9208	0.077	0.134

$$10^3 \cdot k = 0.0623, Q_{0.012} = 0.75, K_m_1 = 0.00$$

$$3548, K_m_2 = 0.1122, K_M_1 = 282, K_M_2 =$$

$$8.9, V_\infty = 0.0016 \text{ mg}, Q_\infty = 0.65$$

Tabelle 26.

Substrat: Vanillin- $\beta$ -d-galaktosid.

Relative Enzymmenge = 1/10.

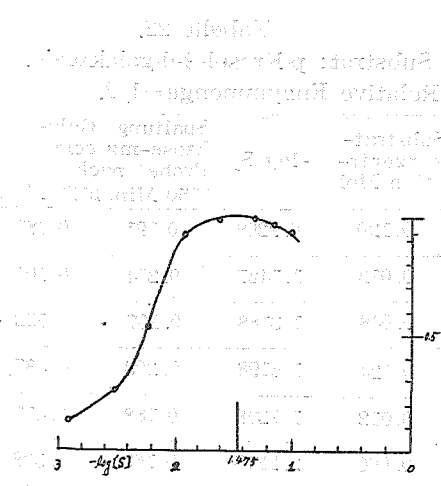


Fig. 19.

Aktivitäts-pS-Kurve (Tabelle 42).

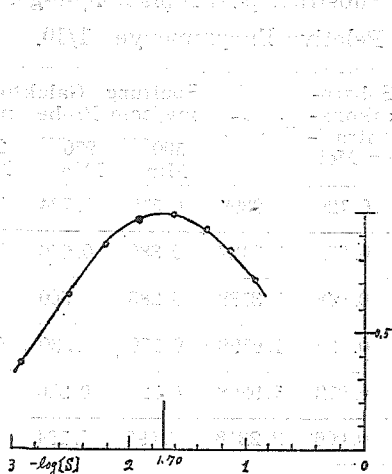


Fig. 20.

Aktivitäts-pS-Kurve (Tabelle 25).

Substratkonzentration Mol	-log[S]	Spaltung (Galaktose-mg/ccm Probe nach	
		1075 Min.	2595 Min.
0.100 *	1.0000	0.823	1.980
0.072 *	1.1427	0.674	1.504
0.048	1.3188	0.455	0.922
0.024	1.6198	0.282	0.500
0.012	1.9208	0.140	0.320
0.006	2.2218	0.089	0.211
0.003	2.5229	0.046	0.080
0.0012	2.9208	0.016	0.030

$$10^3 \cdot k = 0.275, Q_{0.012} = 3.32, K_m = 0.115, K_M = 8.7, V_\infty = 0.672 \text{ mg}, Q_\infty = 27.1$$

\* Als Suspension.

#### E: Versuche mit Takadiastase.

Tabelle 27.\*

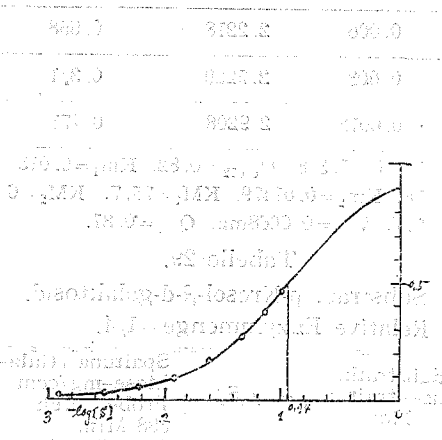
Substrat: Phenol- $\beta$ -d-galaktosid.  
Relative Enzymmenge = 1/4.

Substratkonzentration Mol	-log[S]	Spaltung (Galaktose-mg/ccm Probe) nach 378 Min.
0.120	0.9208	0.325
0.072	1.1427	0.374
0.048	1.3188	0.455
0.024	1.6198	0.589
0.012	1.9208	0.647

Tabelle 28.

Substrat: o-Kresol- $\beta$ -d-galaktosid.  
Relative Enzymmenge = 1/4.

Substratkonzentration Mol	-log[S]	Spaltung (Galaktose-mg/ccm Probe) nach 422 Min.
0.120	0.9208	0.307
0.072	1.1427	0.383
0.048	1.3188	0.427
0.024	1.6198	0.577
0.012	1.9208	0.602



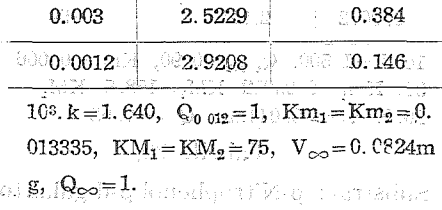
Fin. 21.

Aktivitäts-pS-Kurve (Tabelle 26).



Fin. 22.

Aktivitäts-pS-Kurve (Tabelle 28).



\* Die Aktivitäts-pS-Kurve aus dieser

Tabelle ist in Fig. 1. dargestellt.  
Die Kurve zeigt eine starke Abhängigkeit der Aktivität von der Substratkonzentration, was auf die Enzym-Mangelreaktion hindeutet.

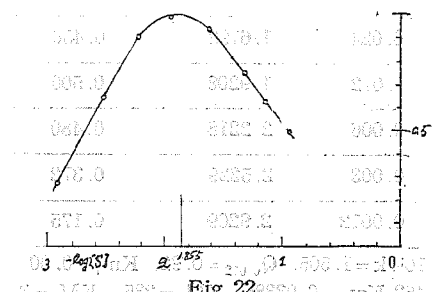


Fig. 22. 800.0 - 1000.0 - Aktivitäts-pS-Kurve (Tabelle 28). 3

0.006	2.2218	0.558
0.003	2.5229	0.331
0.0012	2.9208	0.171

$10^3 k = 1.348$ ,  $Q_{0.012} = 0.82$ ,  $Km_1 = 0.013$   
 $18$ ,  $Km_2 = 0.01479$ ,  $KM_1 = 75.7$ ,  $KM_2 = 6$   
 $7.7$ ,  $V_\infty = 0.0668 \text{ mg}$ ,  $Q_\infty = 0.81$ .

Tabelle 29.

Substrat: p-Kresol- $\beta$ -d-galaktosid.  
 Relative Enzymmenge = 1/4.

Substratkonzentration Mol.	$-\log[S]$	Spaltung (Galaktose-mg/ccm Probe) nach 398 Min.
0.120	0.9208	0.393
0.072	1.1427	0.444
0.048	1.3188	0.520
0.024	1.6198	0.622
0.012	1.9208	0.628
0.006	2.2218	0.553
0.003	2.5229	0.372
0.0012	2.9208	0.159

$10^3 k = 1.500$ ,  $Q_{0.012} = 0.90$ ,  $Km_1 = 0.006$   
 $31$ ,  $Km_2 = 0.05012$ ,  $KM_1 = 158.5$ ,  $KM_2 =$   
 $20.0$ ,  $V_\infty = 0.044 \text{ mg}$ ,  $Q_\infty = 0.53$

Tabelle 30.

Substrat: p-Nitrophenol- $\beta$ -d-galaktosid.  
 Relative Enzymmenge = 1/5.

Substratkonzentration Mol	$-\log[S]$	Spaltung (Galaktose-mg/ccm Probe) nach 380 Min.
0.048	1.3188	0.375
0.024	1.6198	0.450
0.012	1.9208	0.500
0.006	2.2218	0.480
0.003	2.5229	0.372
0.0012	2.9209	0.175

$10^3 k = 1.505$ ,  $Q_{0.012} = 0.92$ ,  $Km_1 = 0.00$   
 $462$ ,  $Km_2 = 0.03385$ ,  $KM_1 = 235$ ,  $KM_2 = 3$   
 $0$ ,  $V_\infty = 0.045 \text{ mg}$ ,  $Q_\infty = 0.55$ .

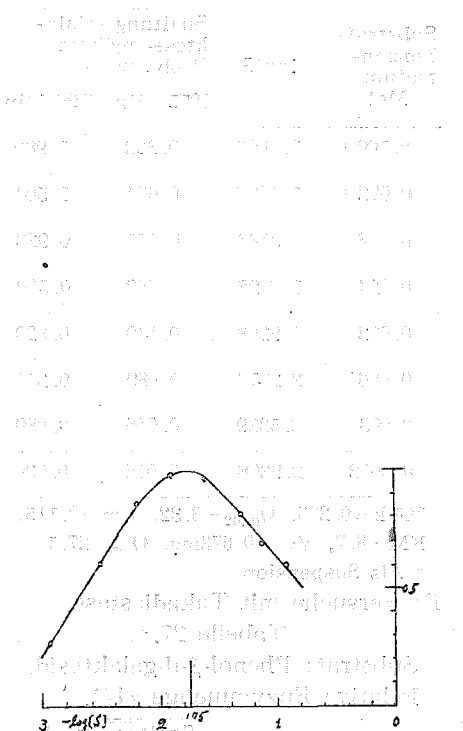


Fig. 23. Aktivitäts-pS-Kurve (Tabelle 29).

Aktivitäts-pS-Kurve (Tabelle 29).

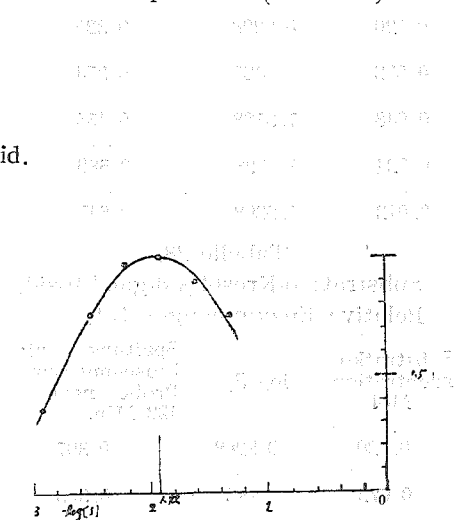


Fig. 24.

Aktivitäts-pS-Kurve (Tabelle 30).

Substrat: p-Oxyacetophenon- $\beta$ -d-galaktosid.  
Relative Enzymmenge = 1/5.

Substratkonzentration Mol.	$-\log[S]$	Spaltung (Galaktose-mg/ccm Probe) nach 382 Min.
0.048	1.3188	0.415
0.024	1.6198	0.431
0.012	1.9208	0.544
0.006	2.2218	0.570
0.003	2.5929	0.593
0.0012	2.9209	0.171

$10^3 \cdot k = 1.65$ ,  $Q_{0.012} = 1.00$ ,  $KM_1 = 0.0266$ ,  
 $KM_2 = 0.00266$ ,  $KM_1 = 37.6$ ,  $KM_2 = 3759$ ,

$$V \infty = 0.230 \text{ mg}, Q \infty = 2.8.$$

Tabelle 32.  
Substrat: Vanillin- $\beta$ -d-galaktosid.  
Relative Enzymmenge = 1/4.

Substratkonzentration Mol	$-\log[S]$	Spaltung (Galaktose-mg/ccm Probe) nach 365 Min.
0.072	1.1427	0.512
0.048	1.3188	0.560
0.024	1.6198	0.630
0.012	1.9208	0.624
0.006	2.2218	0.560
0.003	2.5229	0.336
0.0012	2.9209	0.096

$10^3 \cdot k = 1.628$ ,  $Q_{0.012} = 0.99$ ,  $KM_1 = 0.016$ ,  
 $KM_2 = 0.018841$ ,  $KM_1 = 59.6$ ,  $KM_2 = 53.1$ ,  $V \infty = 0.0812 \text{ mg}$ ,  $Q \infty = 0.99$ .

Tabelle 33.  
Substrat: Guajakol- $\beta$ -d-galaktosid.  
Relative Enzymmenge = 1/3.5.

Substratkonzentration Mol	$-\log[S]$	Spaltung (Galaktose-mg/ccm Probe) nach 350 Min.
0.072	1.1427	0.358

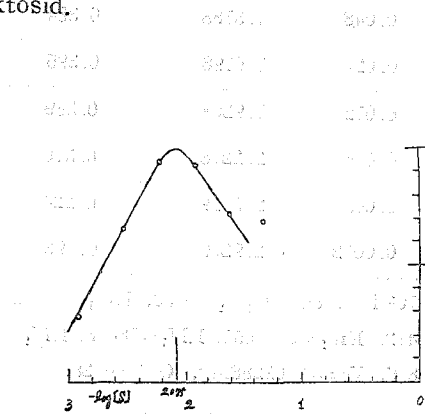


Fig. 25.  
Aktivitäts-pS-Kurve (Tabelle 31).

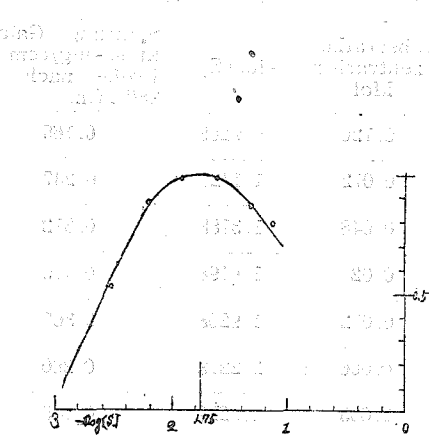


Fig. 26.  
Aktivitäts-pS-Kurve (Tabelle 32).

II effektiv

0.048	1.3188	0.384
0.024	1.6198	0.395
0.012	1.9208	0.389
0.006	2.2218	0.310
0.003	2.5229	0.224
0.0012	2.9208	0.093

$$10^3 k = 0.861, Q_{0.012} = 0.53, K_m = 0.005$$

$$412, K_m = 0.11655, K_M = 184.8, K_M =$$

$$8.6, V_\infty = 0.02288 \text{ mg}, Q_\infty = 0.28.$$

F: Versuche mit dem Fermentpräparate von Taka-type aus Schneckenhepatopankreas. Azidität des Reaktionsgemisches reguliert auf pH 2.8 anstatt 4.8.

Tabelle 34.

Substrat: Phenol- $\beta$ -d-galaktosid.

Relative Enzymmenge = 1.

Substratkonzentration Mol	-log[S]	Spaltung (Galaktose-mg/ccm Probe) nach 980 Min.
0.120	0.9208	0.165
0.072	1.1427	0.247
0.048	1.3188	0.312
0.024	1.6198	0.415
0.012	1.9208	0.367
0.006	2.2218	0.260
0.003	2.5229	0.145
0.0012	2.9208	0.027

$$10^3 k = 0.0823, Q_{0.012} = 1, K_m = 0.04315,$$

$$K_m = 0.009226, K_M = 23.2, K_M =$$

$$108.4, V_\infty = 0.00936 \text{ mg}, Q_\infty = 1.$$

Tabelle 35.

Substrat: o-Kresol- $\beta$ -d-galaktosid.

Relative Enzymmenge = 1.

Substratkonzentration Mol	-log[S]	Spaltung (Galaktose-mg/ccm Probe) nach 980 Min.
0.120	0.9208	0.176

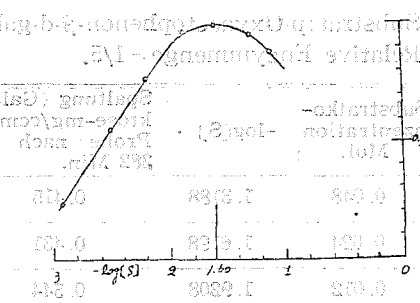


Fig. 27.

Aktivitäts-pS-Kurve (Tabelle 33).

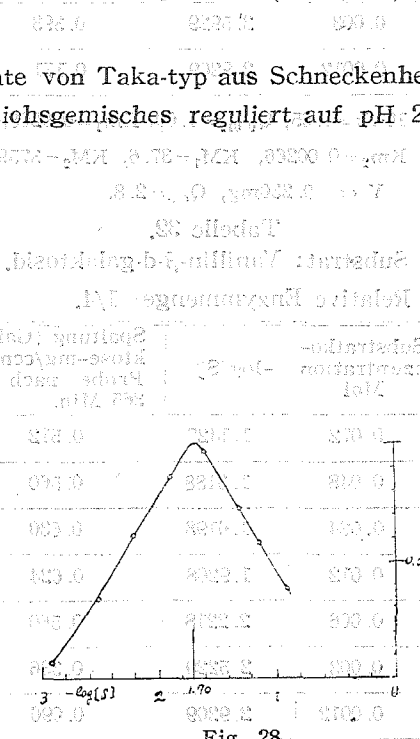


Fig. 28.

Aktivitäts-pS-Kurve (Tabelle 34).

0.072	1.1427	0.250
0.048	1.3188	0.300
0.024	1.6198	0.419
0.012	1.9208	0.382
0.006	2.2218	0.260
0.003	2.5229	0.131
0.0012	2.9208	0.035

$$10^3 \cdot k = 0.0863, Q_{0.012} = 1.05, K_m_1 = 0.04074,$$

$$K_m_2 = 0.00871, K_M_1 = 24.5, K_M_2 = 114.8,$$

$$V_\infty = 0.00936 \text{ mg}, Q_\infty = 1.$$

Tabelle 36.

Substrat: p-Kresol- $\beta$ -d-galaktosid.

Relative Enzymmenge = 1.

Substratkonzentration Mol.	-log[S]	Spaltung (Galaktose-mg/ccm Probe) nach 1010 Min.
0.120	0.9208	0.211
0.072	1.1427	0.323
0.048	1.3188	0.395
0.024	1.6198	0.485
0.012	1.9208	0.461
0.006	2.2218	0.320
0.003	2.5229	0.209
0.0012	2.9208	0.045

$$10^3 \cdot k = 0.103, Q_{0.012} = 1.25, K_m_1 =$$

$$0.09268, K_m_2 = 0.004295, K_M_1 = 10.8,$$

$$K_M_2 = 233, V_\infty = 0.02036 \text{ mg}, Q_\infty = 2.18.$$

Tabelle 37.

Substrat: p-Nitrophenol- $\beta$ -d-galaktosid.

Relative Enzymmenge = 1.

Substratkonzentration Mol	-log[S]	Spaltung (Galaktose-mg/ccm Probe) nach 880 Min.
0.100	1.0000	0.150
0.072	1.1427	0.215
0.048	1.3188	0.288

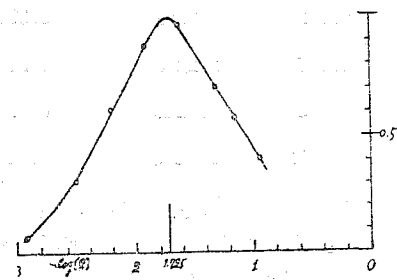


Fig. 29.

Aktivitäts-pS-Kurve (Tabelle 35).

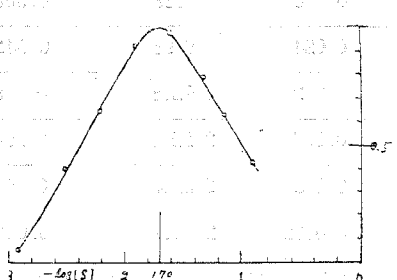


Fig. 30.

Aktivitäts-pS-Kurve (Tabelle 36).

0.024	1.6198	0.423
0.012	1.9208	0.395
0.006	2.2218	0.264
0.003	2.5229	0.125
0.0012	2.9208	0.010

$$10^3 k = 0.100, Q_{0.012} = 1.22, K_m = 0.2754,$$

$$K_m = 0.00123, KM_1 = 3.6, KM_2 = 813,$$

$$V_\infty = 0.0620 \text{ mg}, Q_\infty = 6.6$$

Tabelle 38.

Substrat: p-Oxyacetophenon- $\beta$ -d-galaktosid.  
Relative Enzymmenge = 1.

Substratkonzentration Mol.	-log(S)	Spaltung (Galaktose-mg/ccm Probe) nach 1200 Min.
0.100 *	1.0000	0.517
0.072 *	1.1427	0.564
0.048	1.3188	0.568
0.024	1.6198	0.542
0.012	1.9208	0.418
0.006	2.2218	0.298
0.003	2.5229	0.154
0.0012	2.9209	0.052

$$10^3 k = 0.0778, Q_{0.012} = 0.85, K_m =$$

$$0.01462, KM_1 = 0.1462, KM_2 = 68.4,$$

$$KM_2 = 6.84, V_\infty = 0.0031, Q_\infty = 0.33.$$

\* Als Suspension.

Tabelle 39.

Substrat: Guajakol- $\beta$ -d-galaktosid.  
Relative Enzymmenge = 1.

Substratkonzentration Mol	-log(S)	Spaltung (Galaktose-mg/ccm Probe) nach 5210 Min.
0.0336	1.47366	0.120
0.024	1.6198	0.140
0.012	1.9208	0.170
0.006	2.2218	0.121
0.003	2.5229	0.06

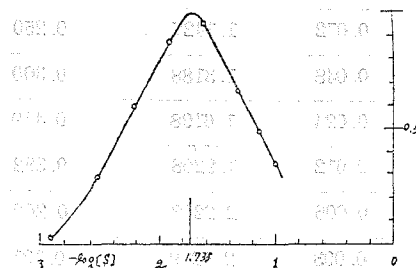


Fig. 31.

Aktivitäts-pS-Kurve (Tabelle 37).

Substrat: p-Oxyacetophenon- $\beta$ -d-galaktosid.  
Relative Enzymmenge = 1.

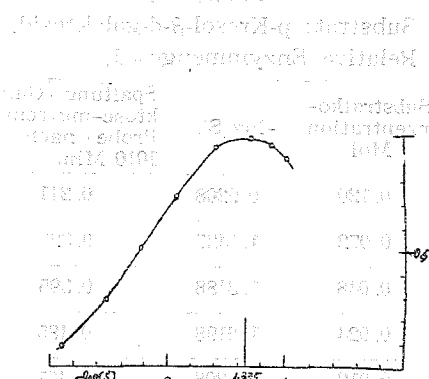


Fig. 32.

Aktivitäts-pS-Kurve (Tabelle 38).

Substrat: Guajakol- $\beta$ -d-galaktosid.  
Relative Enzymmenge = 1.

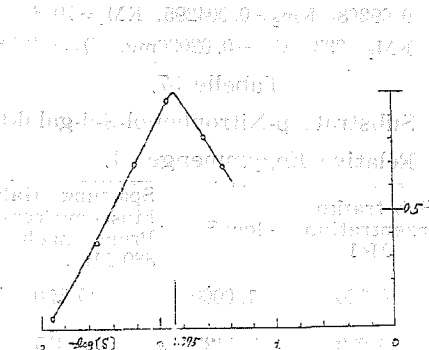


Fig. 33.

Aktivitäts-pS-Kurve (Tabelle 39).

0.0012	2.9208	0.006
--------	--------	-------

$10^3 \cdot k = 0.00695$ ,  $Q_{0.012} = 0.085$ ,  $Km_1 = 0.1333$ ,  $Km_2 = 0.001333$ ,  $KM_1 = 7.5$ ,  $KM_2 = 750.2$ ,  $V_\infty = 0.00298$ ,  $Q_\infty = 0.32$ .

Tabelle 40.

Substrat: Vanillin- $\beta$ -d-galaktosid.

Relative Enzymmenge=1.

Substratkonzentration Mol	$-\log[S]$	Spaltung (Galaktose-mg/ccm Probe) nach 530 Min.
0.120 *	0.9208	0.190
0.072 *	1.1427	0.234
0.048	1.3188	0.266
0.024	1.6198	0.242
0.012	1.9208	0.184
0.006	2.2218	0.123
0.003	2.5229	0.070
0.0012	2.9208	0.011

$10^3 \cdot k = 0.0715$ ,  $Q_{0.012} = 0.87$ ,  $Km_1 = Km_2 = 0.03981$ ,  $KM_1 = KM_2 = 25.1$ ,  $V_\infty = 0.0624$  mg,  $Q_\infty = 0.67$ .

\* Als Suspension.

G: Versuche mit dem Fermentpräparat aus *Aspergillus niger*.

Tabelle 41.

Substrat: Phenol- $\beta$ -d-galaktosid.

Relative Enzymmenge=1.

Substratkonzentration Mol	$-\log[S]$	Spaltung (Galaktose-mg/ccm Probe) nach 1500 Min.
0.100	1.0000	0.244
0.072	1.1427	0.263
0.056	1.444	0.322
0.018	1.745	0.381
0.009	2.046	0.370
0.006	2.2218	0.320
0.003	2.5229	0.240

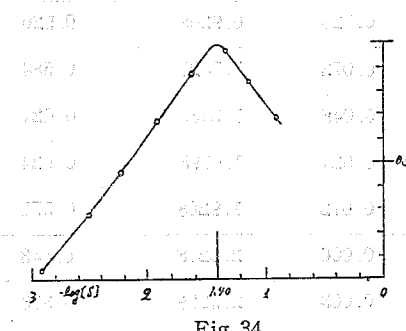


Fig. 34.

Aktivitäts-pS-Kurve (Tabelle 40).

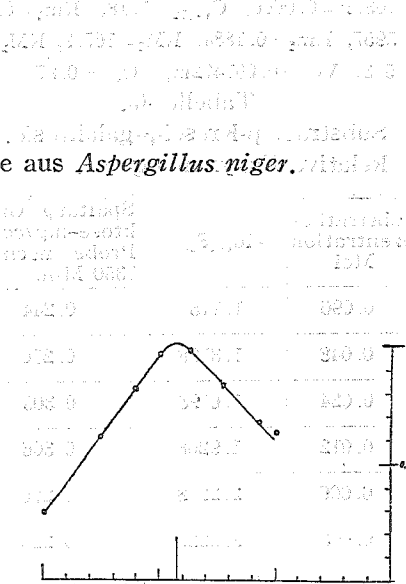


Fig. 35.

Aktivitäts-pS-Kurve (Tabelle 41).

0.001	3.0000	0.110
-------	--------	-------

103.  $k = 0.0564$ ,  $Q_{0.012} = 1$ ,  $Km_1 = 0.04571$ ,

$Km_2 = 0.004571$ ,  $KM_1 = 21.9$ ,  $KM_2 = 218$ .

$8$ ,  $V_\infty = 0.001696\text{mg}$ ,  $Q_\infty = 1$ .

Tabelle 42.

Substrat: o-Kresol- $\beta$ -d-galaktosid.

Relative Enzymmenge = 1

Substratkonzentration Mol	-log[S]	Spaltung (Galaktose-mg/ccm Probe) nach 2360 Min.
0.120	0.9208	0.520
0.072	1.1427	0.584
0.048	1.3188	0.624
0.024	1.6198	0.624
0.012	1.9208	0.571
0.006	2.2218	0.443
0.003	2.5229	0.313
0.001	3.0000	0.128

103.  $k = 0.0666$ ,  $Q_{0.012} = 1.18$ ,  $Km_1 = 0.00$

$5957$ ,  $Km_2 = 0.1884$ ,  $KM_1 = 167.9$ ,  $KM_2 =$

$5.3$ ,  $V_\infty = 0.001472\text{mg}$ ,  $Q_\infty = 0.87$ .

Tabelle 43.

Substrat: p-Kresol- $\beta$ -galaktosid.

Relative Enzymmenge = 1.

Substratkonzentration Mol	-log[S]	Spaltung (Galaktose-mg/ccm Probe) nach 1350 Min.
0.096	1.118	0.244
0.048	1.3188	0.270
0.024	1.6198	0.305
0.012	1.9208	0.306
0.006	2.2218	0.270
0.003	2.5229	0.220
0.001	3.0000	0.138

103.  $k = 0.0493$ ,  $Q_{0.012} = 0.88$ ,  $Km_1 = 0.00$

$2213$ ,  $Km_2 = 0.1245$ ,  $KM_1 = 452$ ,  $KM_2 =$

$8.0$ ,  $V_\infty = 0.00118\text{mg}$ ,  $Q_\infty = 0.70$ ,

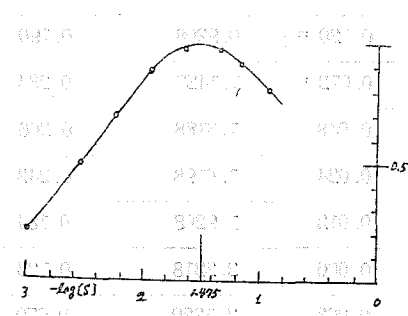


Fig. 36.

Aktivitäts-pS-Kurve (Tabelle 42).

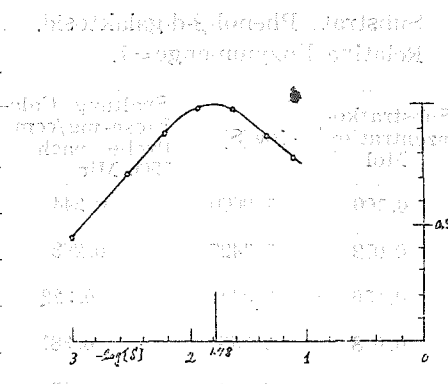


Fig. 37.

Aktivitäts-pS-Kurve (Tabelle 43).

#### LITERATUREN

- 1). S. Ezaki, J. Biochem. 32 (1940), 91 u. 107.
- 2). E. Fischer, Ber., 23 (1890), 2614.
- 3). J. B. S. Haldane u. K. G. Stern, Allgemeine Chemie der Enzyme (1932), 106.
- 4). B. Helferich u. Mitarbeitern, Zeit. Physiol. Chem., 208 (1932), 91.
- 5). B. Helferich, Ergeb. d. Enzymforsch., 2 (1933), 87; 7 (1938), 83.
- 6). K. Horikoshi, J. Biochem., 35 (1942), 39.
- 7). K. Kobayashi, J. Biochem. (Japanisch), 18 (1944), 41.
- 8). T. Miwa, C. Cheng, M. Fujisaki u. A. Toishi, Acta Phytochim., 10 (1937), 155.
- 9). T. Miwa, C. Cheng, A. Miwa, M. Fujisaki u. K. Outi, Sci. Rep. Tokyo Bunrika Daigaku, B. 6(1942), 11.
- 10). T. Miwa u. A. Miwa, Igaku to Seibutsugaku (Japanisch), 1(1942), 229.
- 11). T. Miwa u. A. Miwa, Ebenda, 2(1942), 398 u. 401..
- 12). T. Miwa, M. Fujisaki u. K. Ishizawa, Ebenda, 5(1944), 678.
- 13). L. Michaelis u. L. Menten, 49(1913), 333.
- 14). K. Nisizawa, Bull. Chem. Soc. Jap., 16(1941), 155.
- 15). K. Nisizawa, Sci. Rep. Tokyo Bunrika Daigaku, B. 6(1942), 29.
- 16). K. Nisizawa, Ebenda, B. 6(1942), 43.
- 17). Ruff u. Franz, Ber., 35(1902), 948.
- 18). Scnhell u. Tollens, Ber., 23(1890), 2990; Compt. rend. Acad. Sci., 127 (1898), 728.
- 19). Tollens, Ber., 23(1890), 2990; Ann., 271(1892), 74.
- 20). R. Willstätter u. R. Kuhn, Zeit. Physiol. Chem., 129(1923), 33.